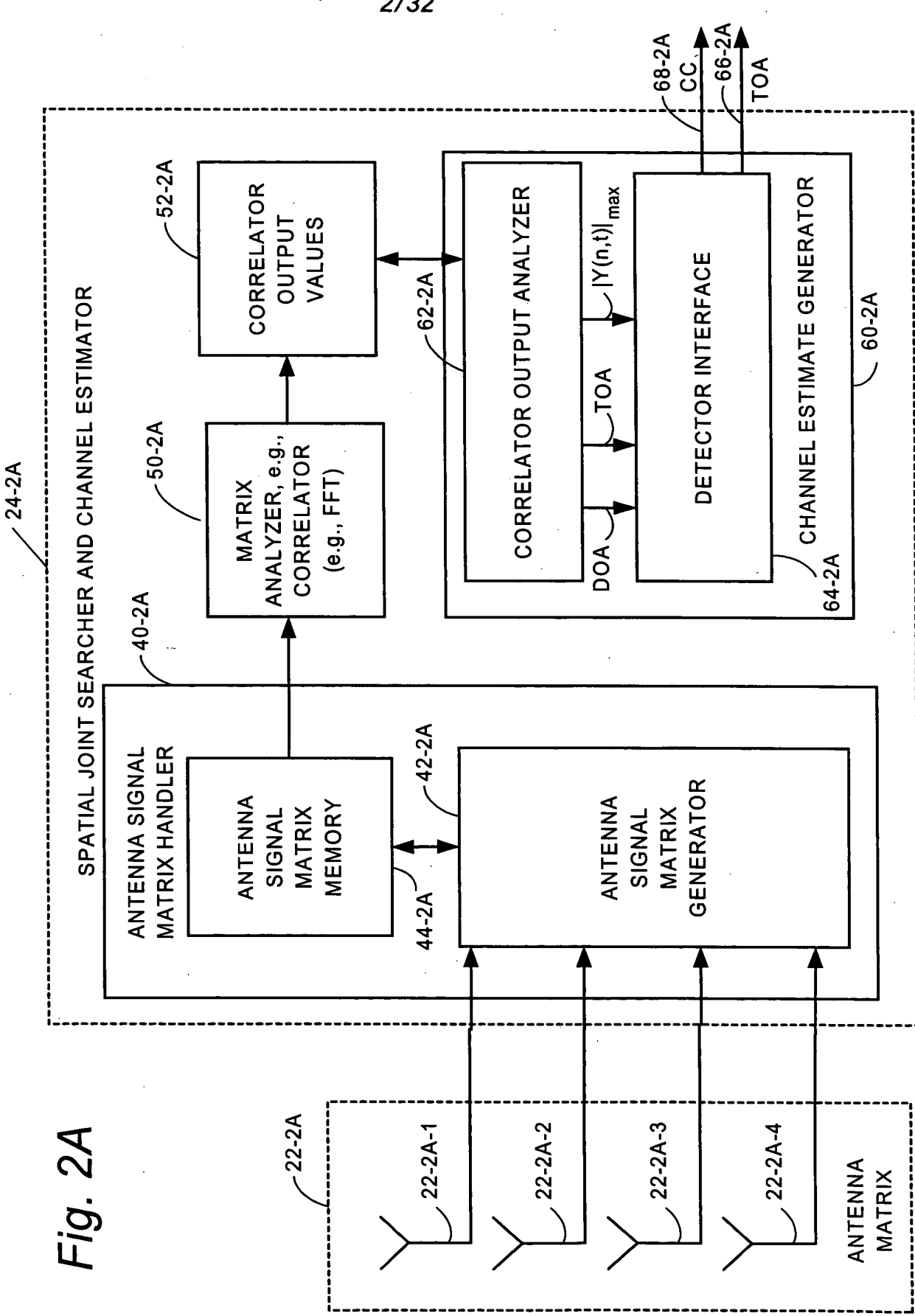
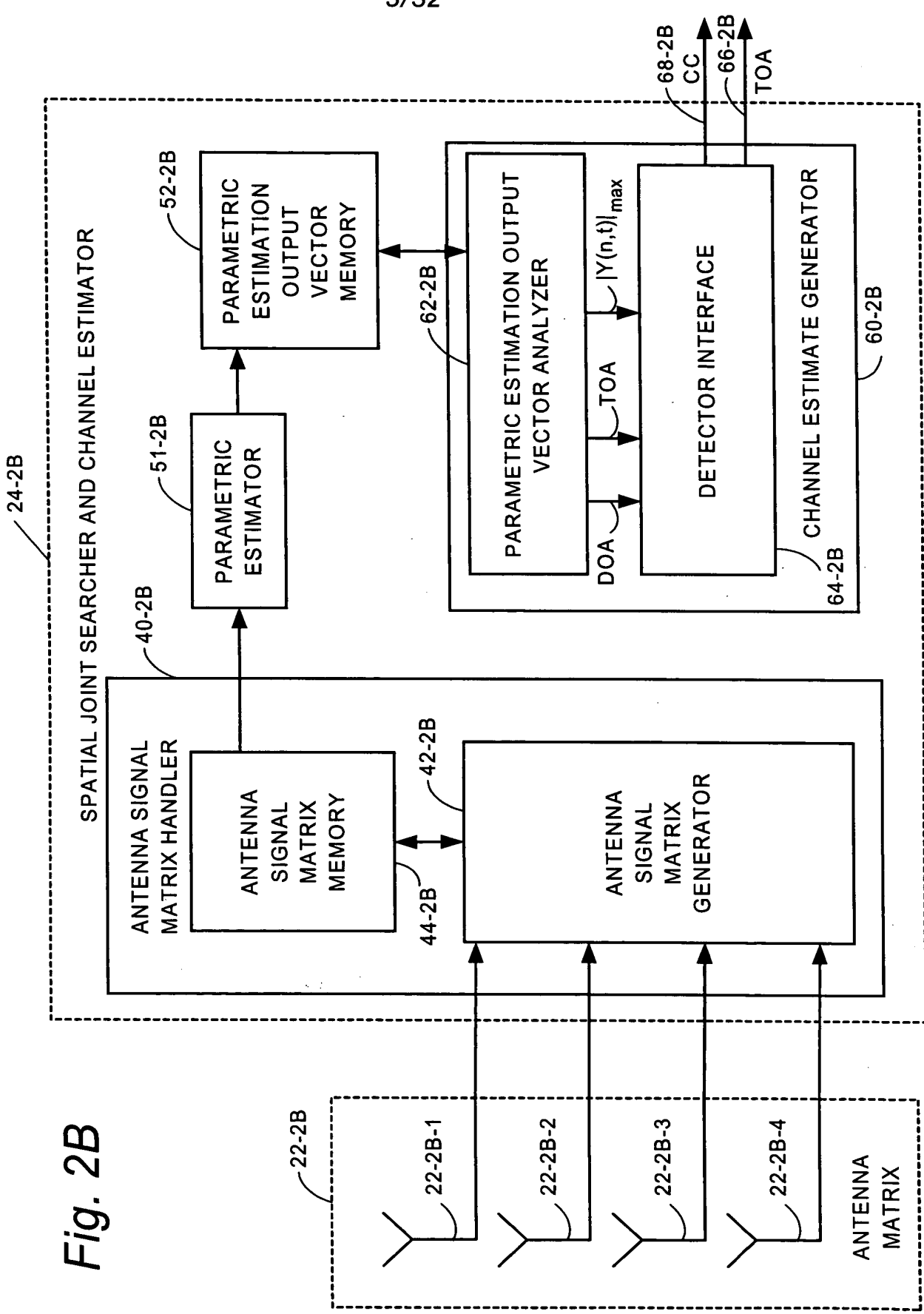


Fig. 1

*Fig. 2A*



**Fig. 2B**



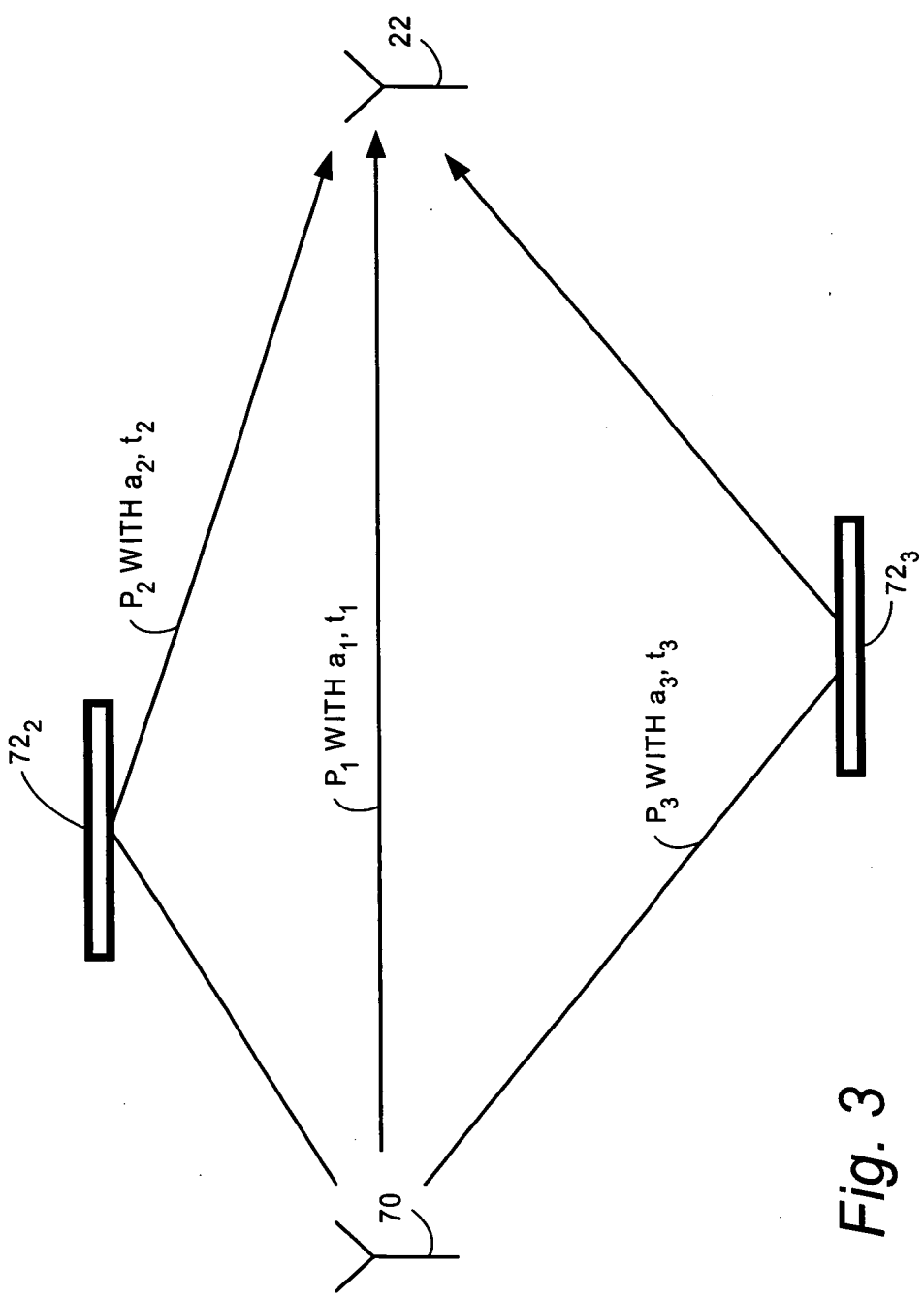


Fig. 3

Fig. 4

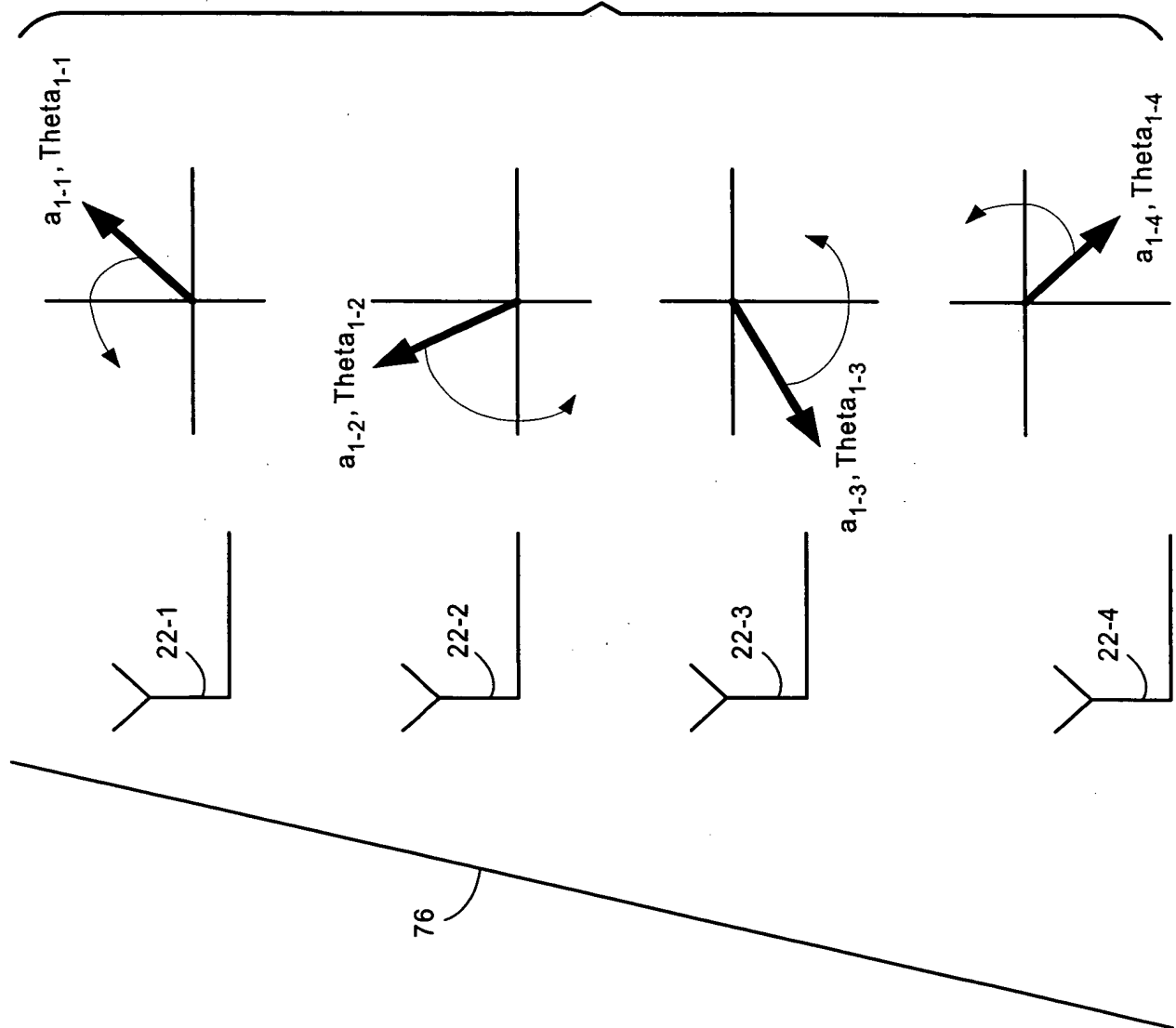


Fig. 5B

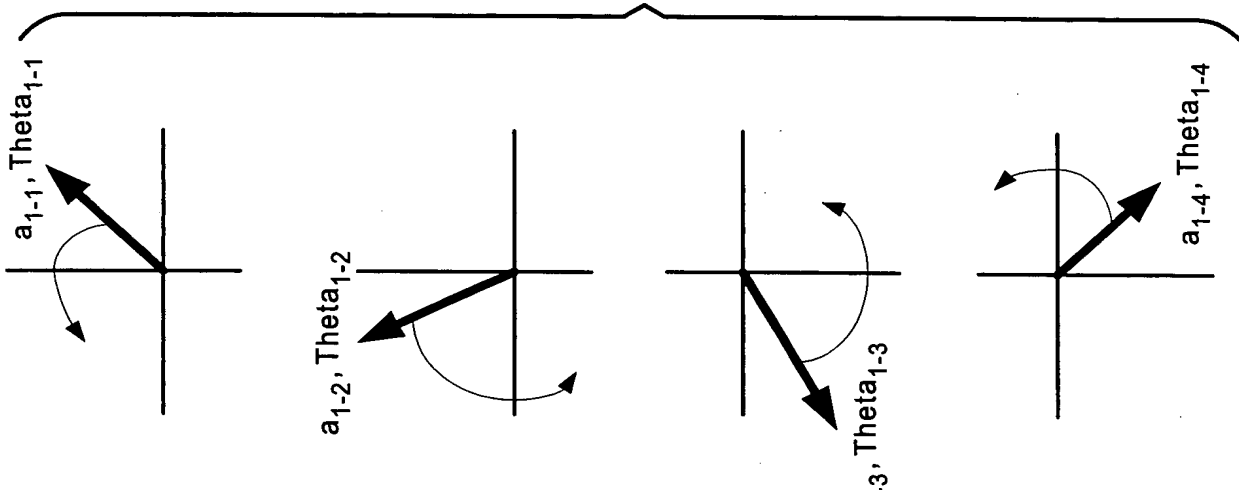
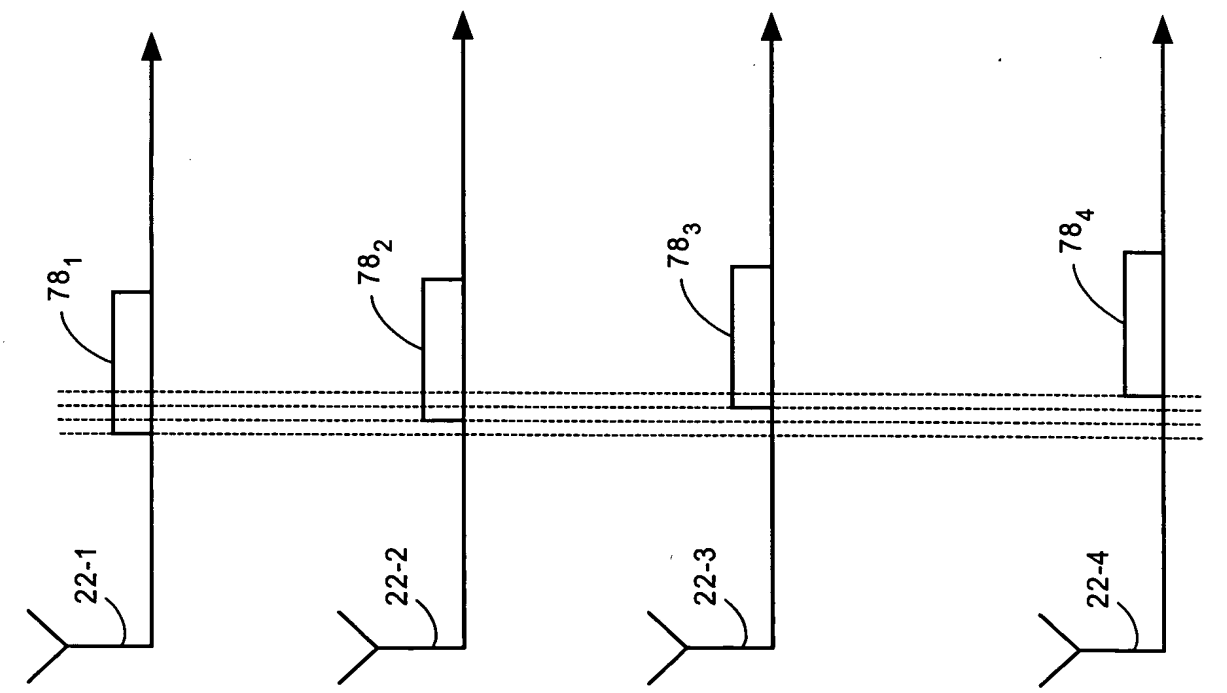


Fig. 5A



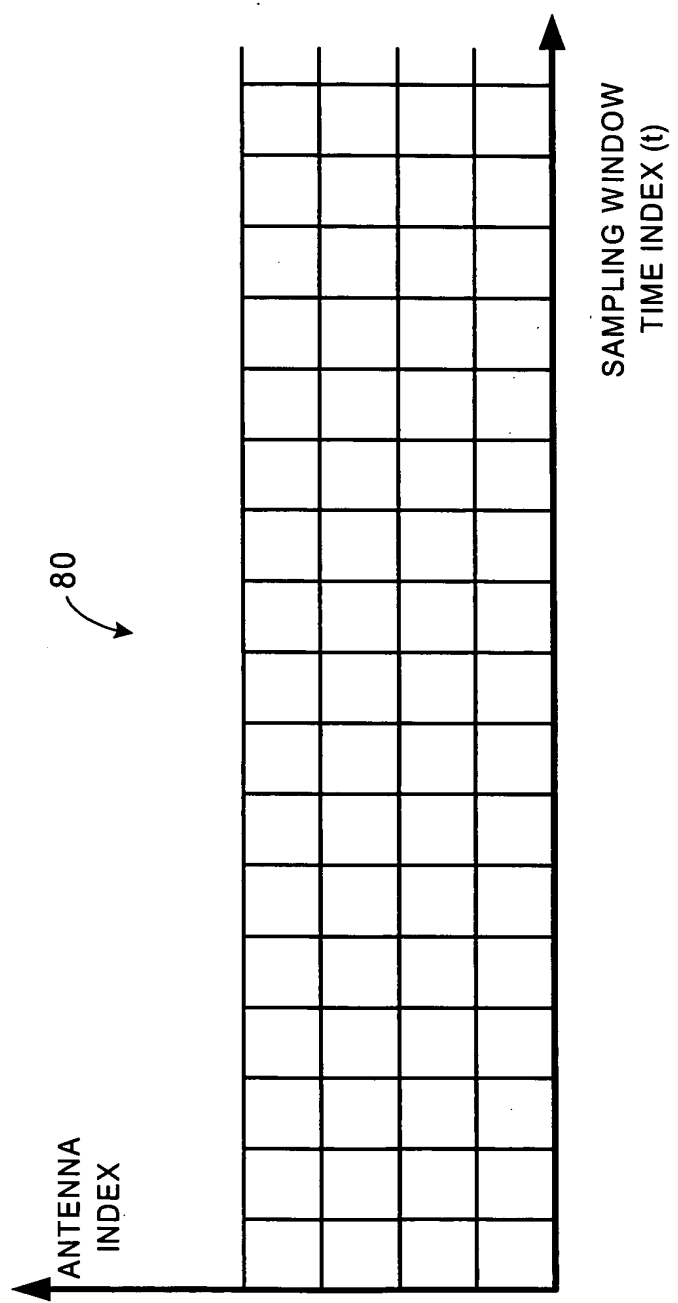
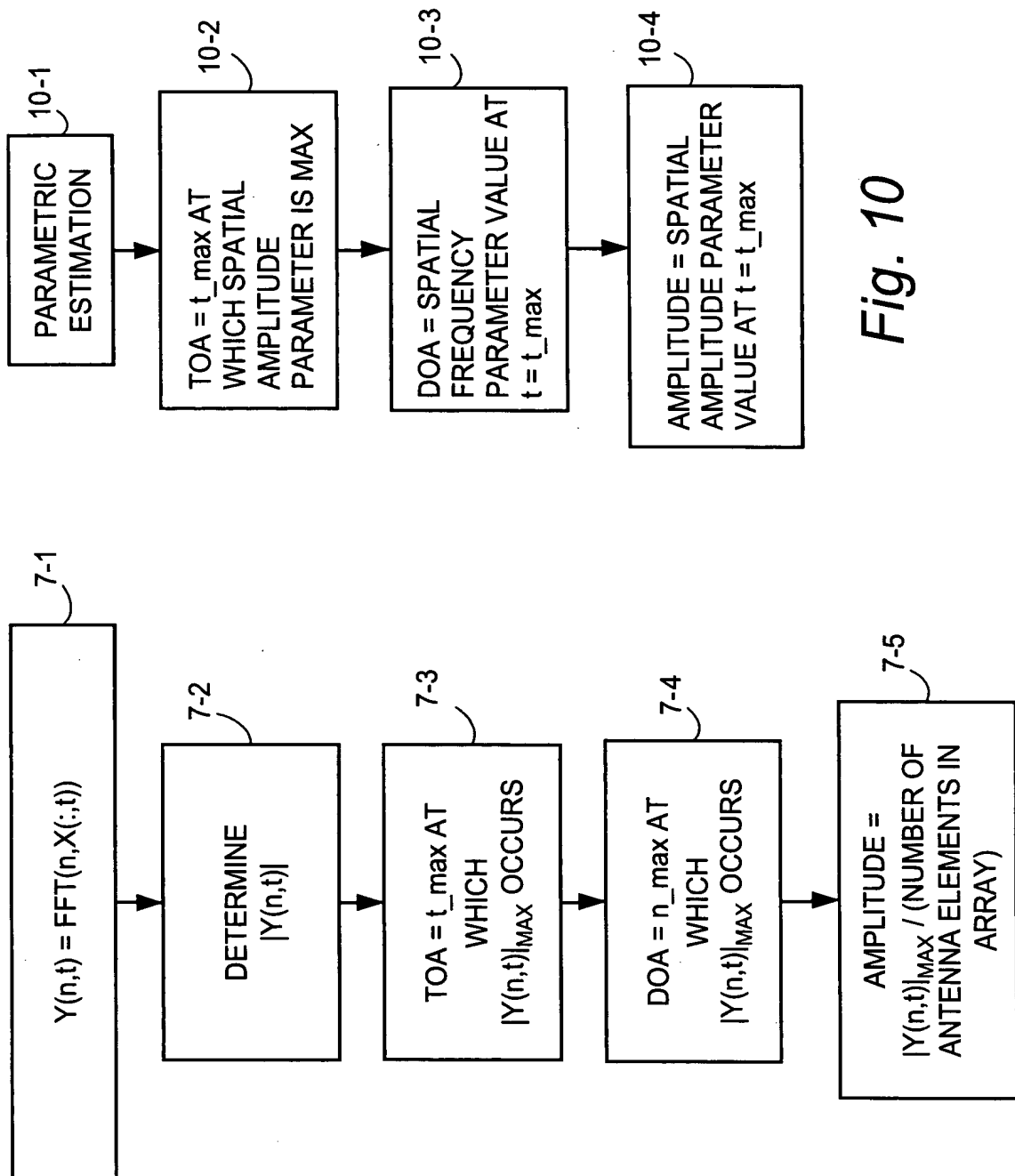


Fig. 6



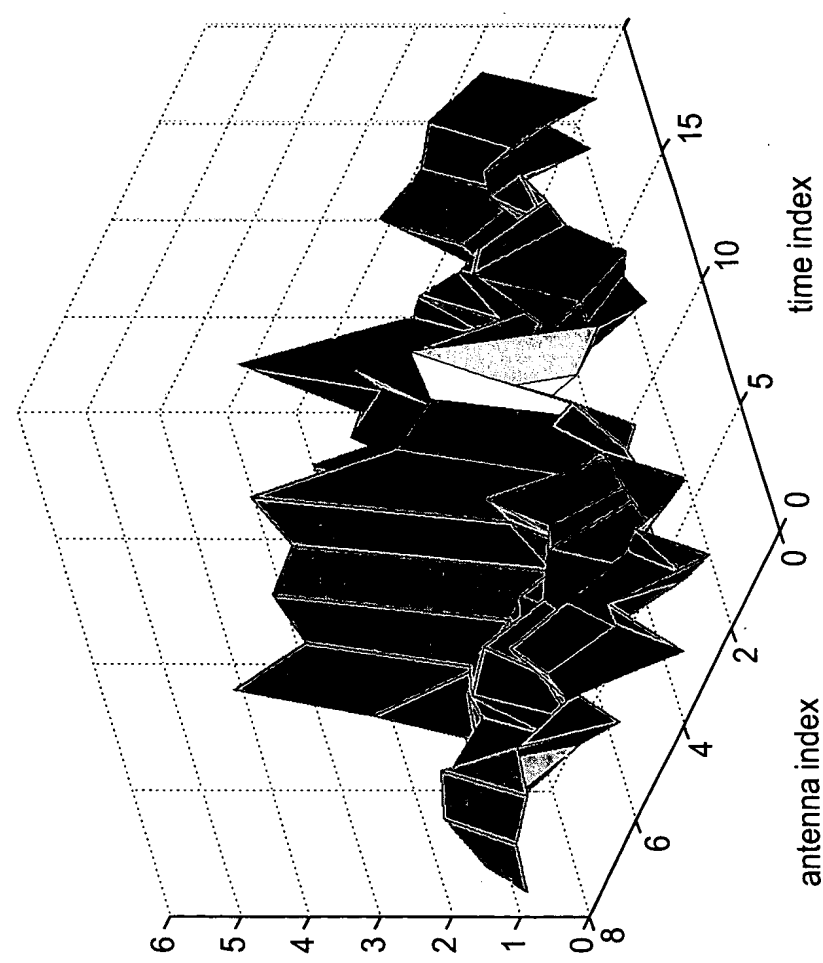


Fig. 8A

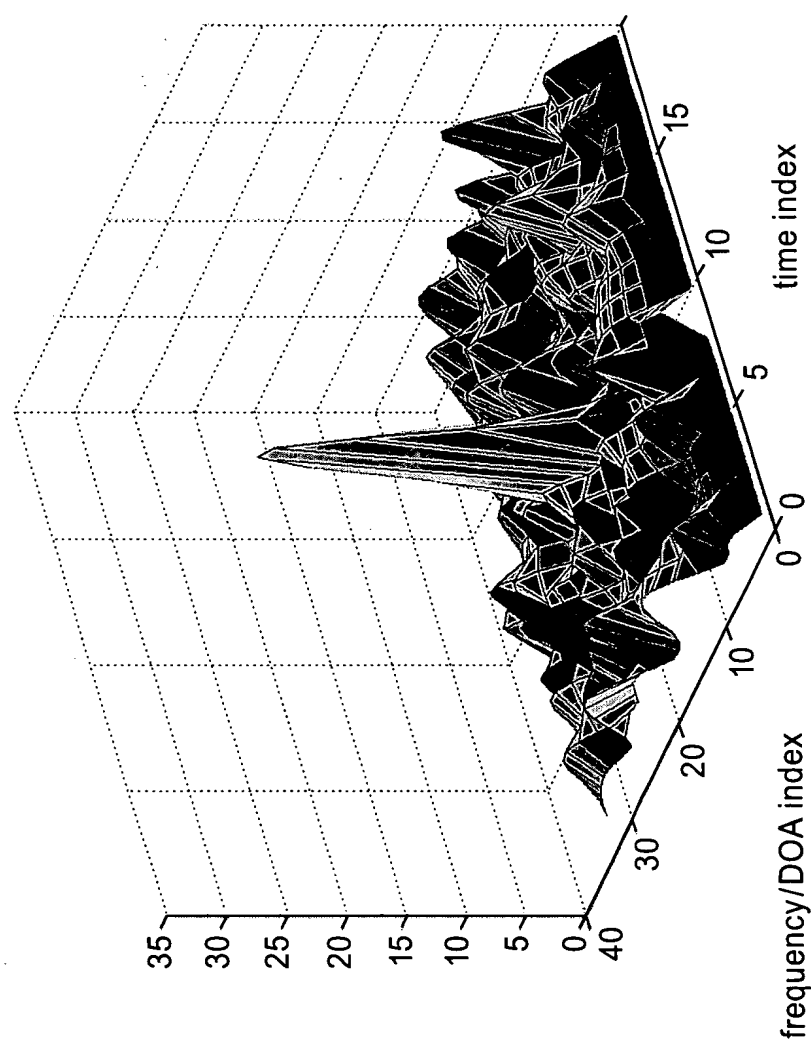
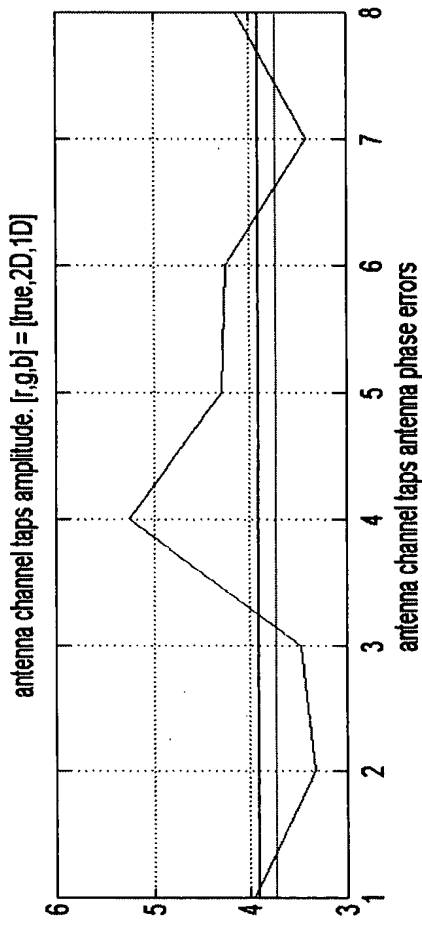
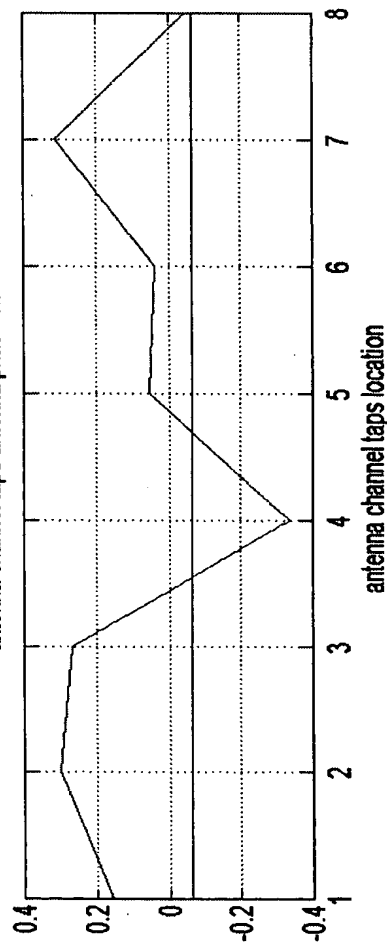
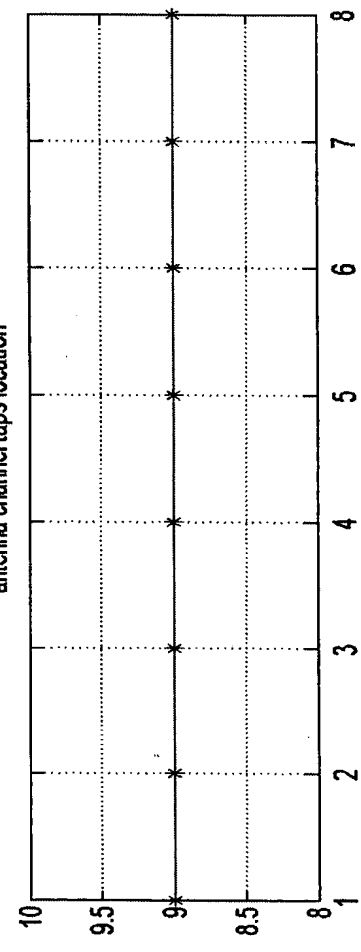


Fig. 8B

*Fig. 8C(1)**Fig. 8C(2)**Fig. 8C(3)*

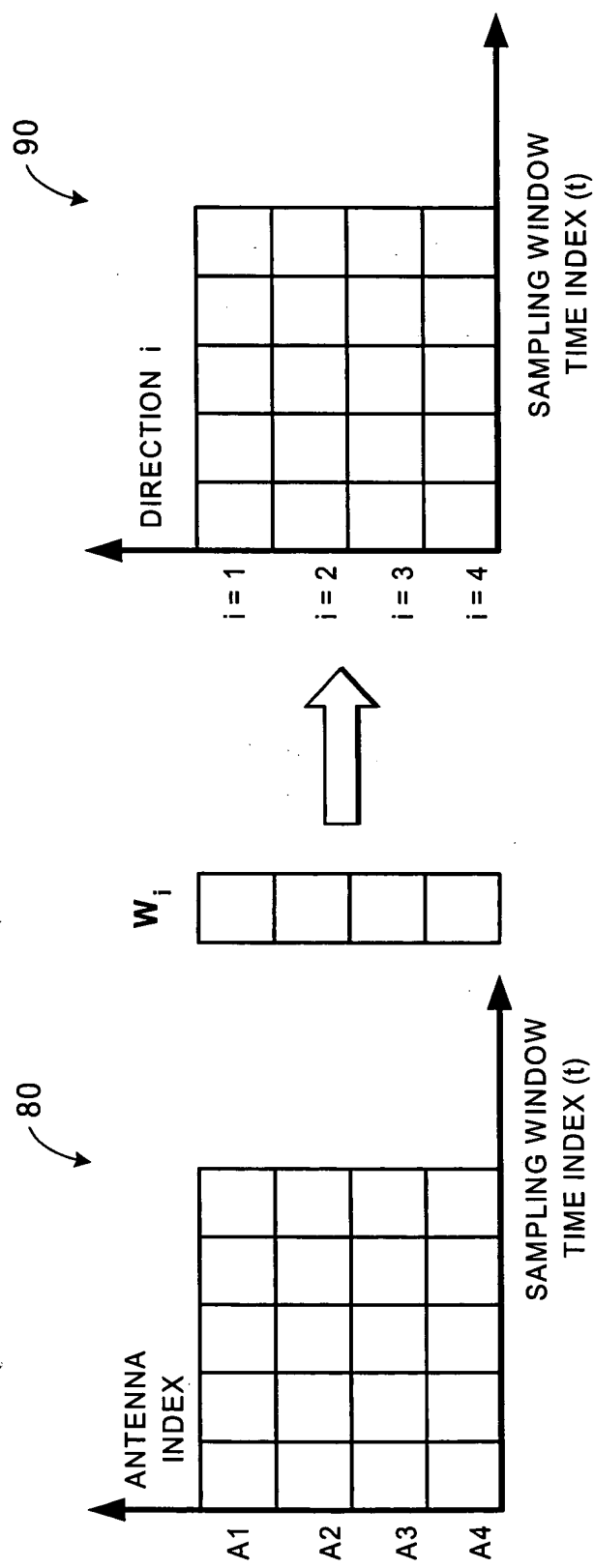


Fig. 9A

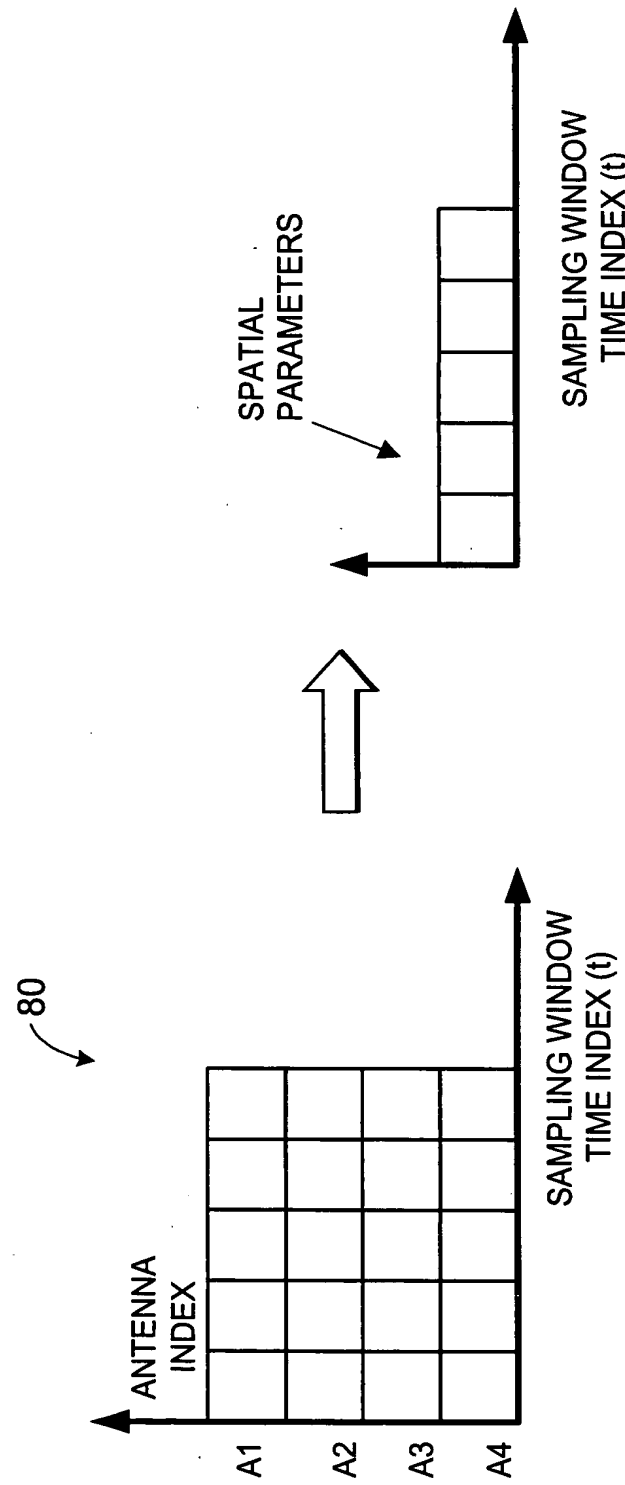


Fig. 9B

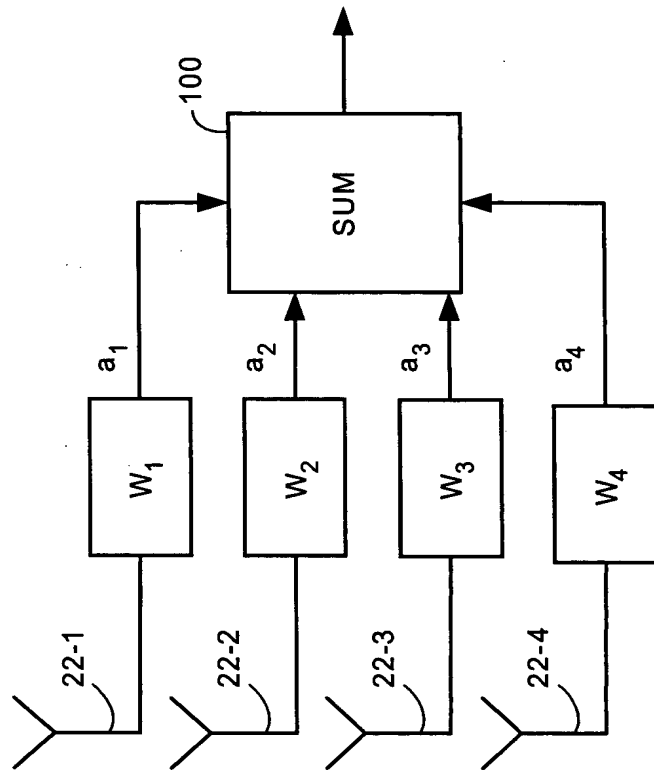


Fig. 12

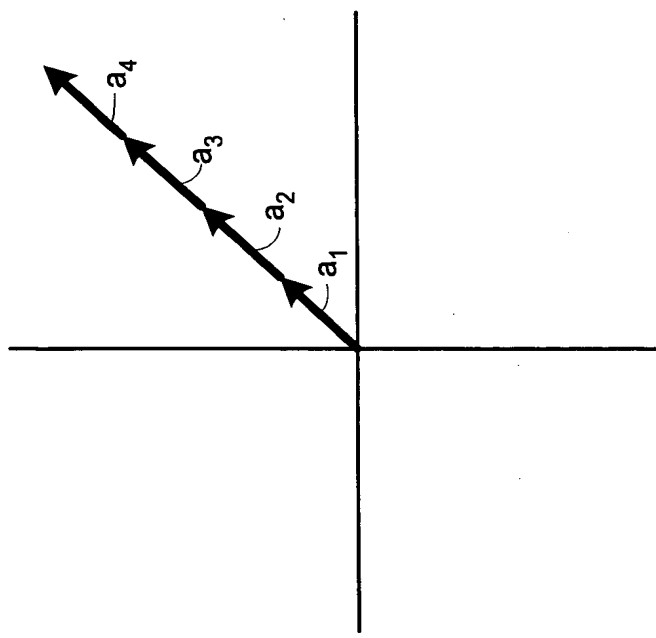
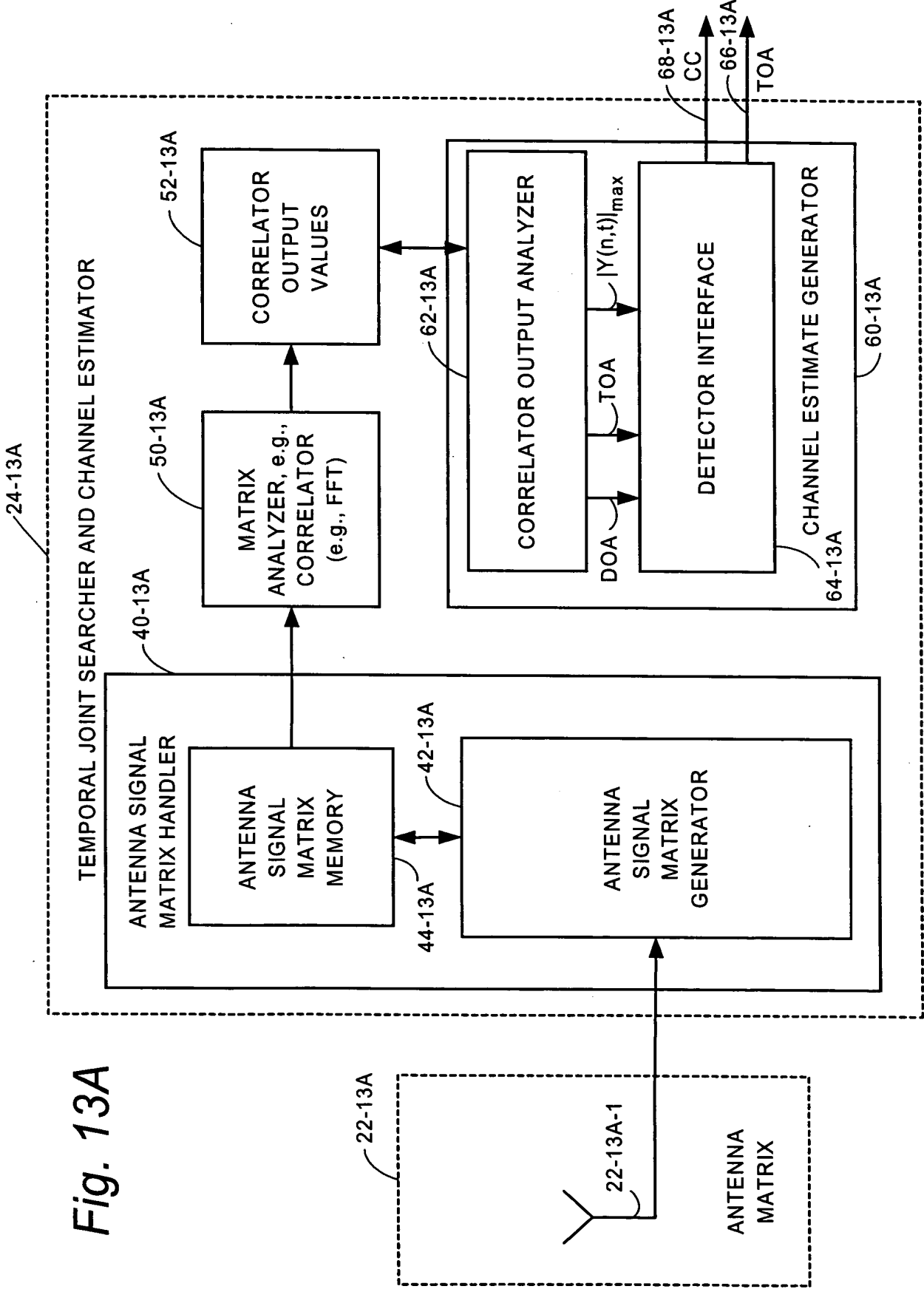
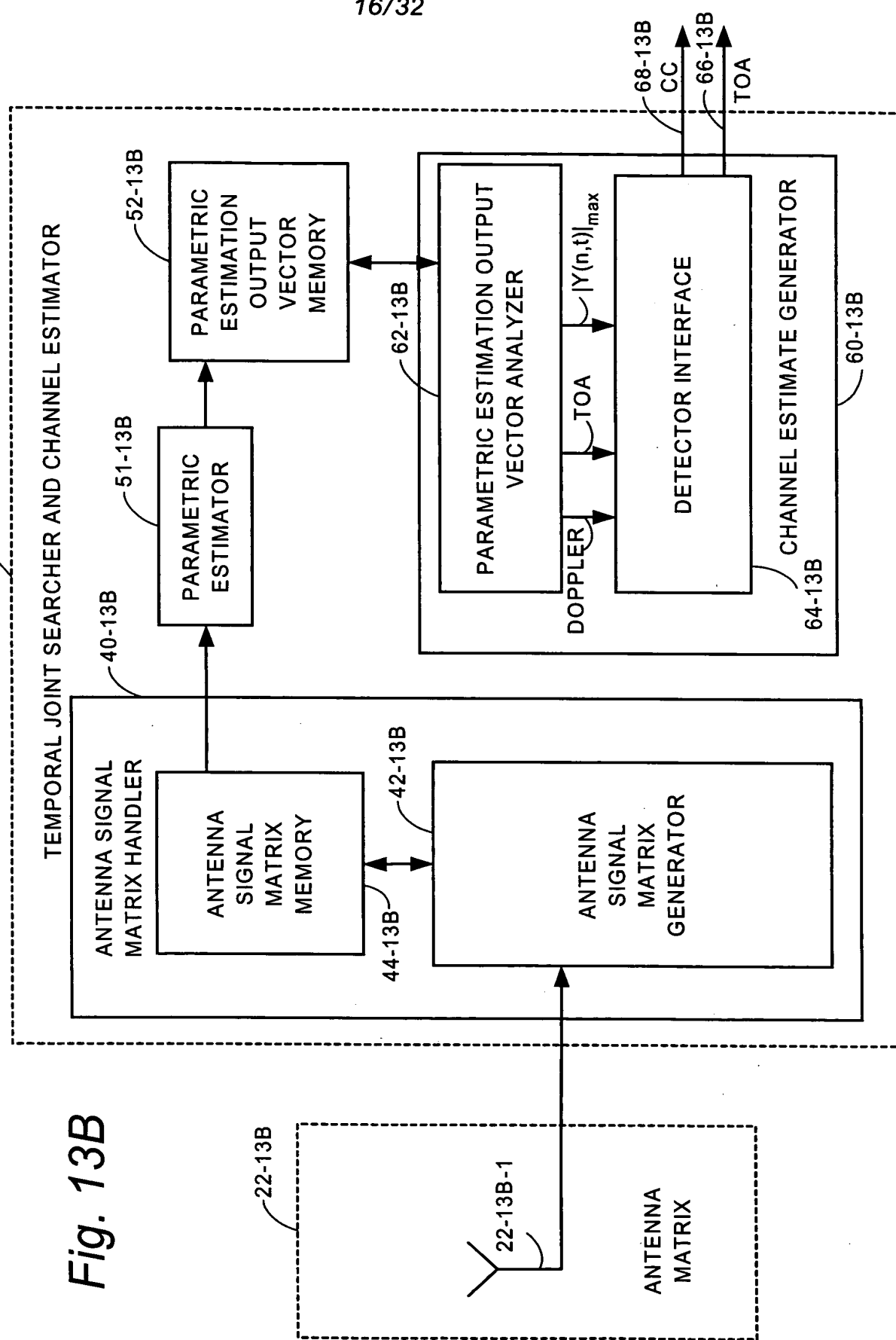
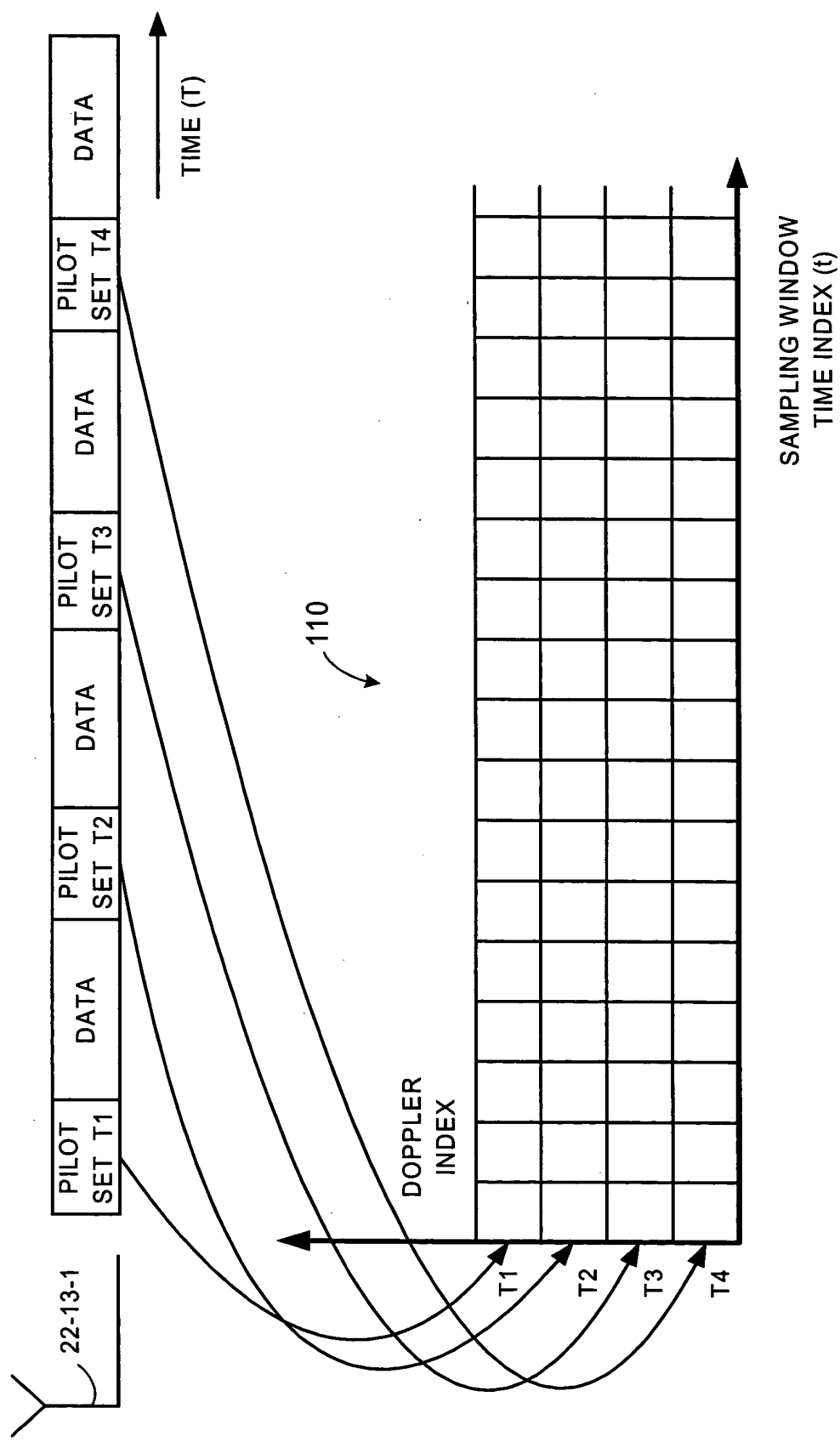


Fig. 11



24-13B



*Fig. 14*

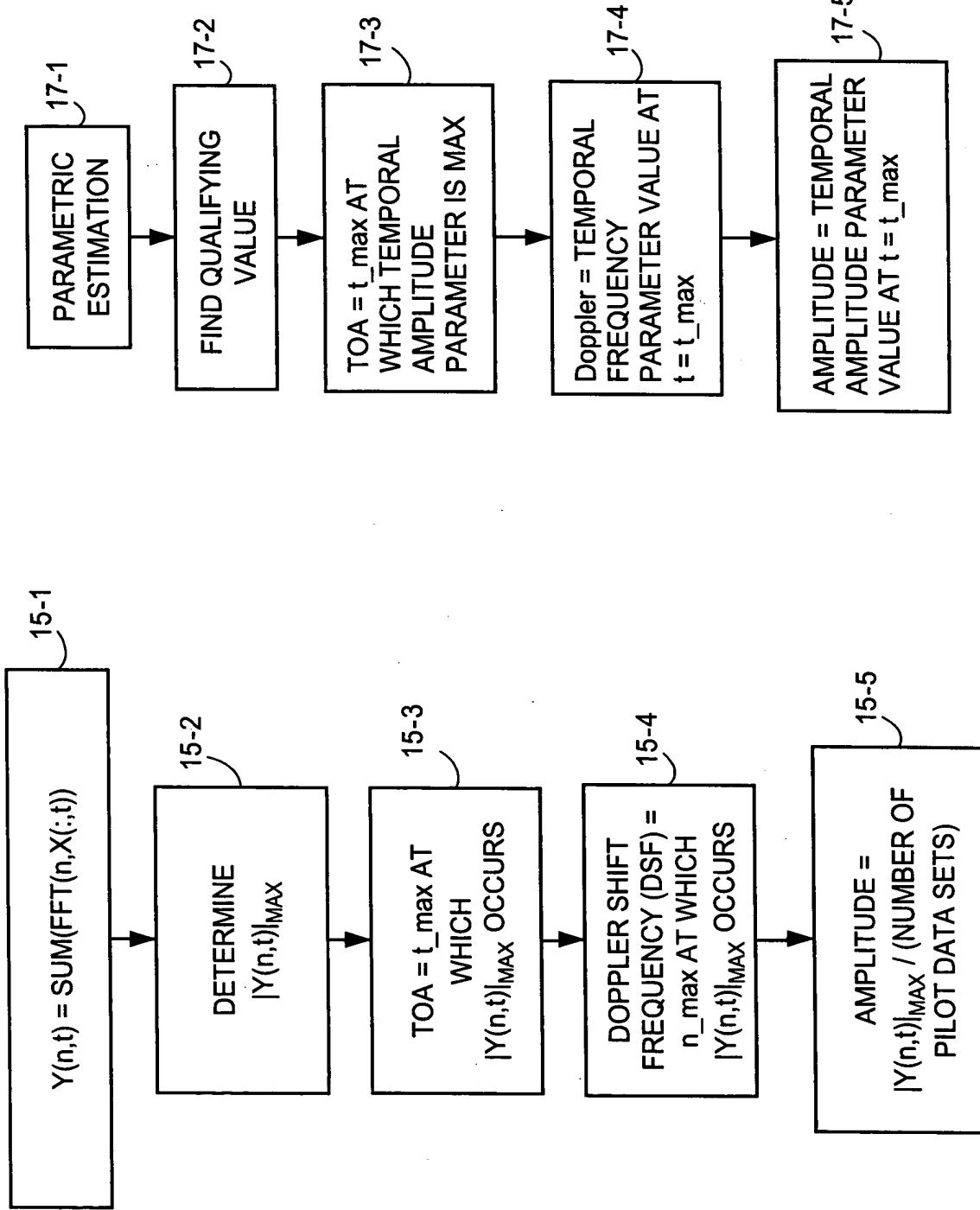


Fig. 15

Fig. 17

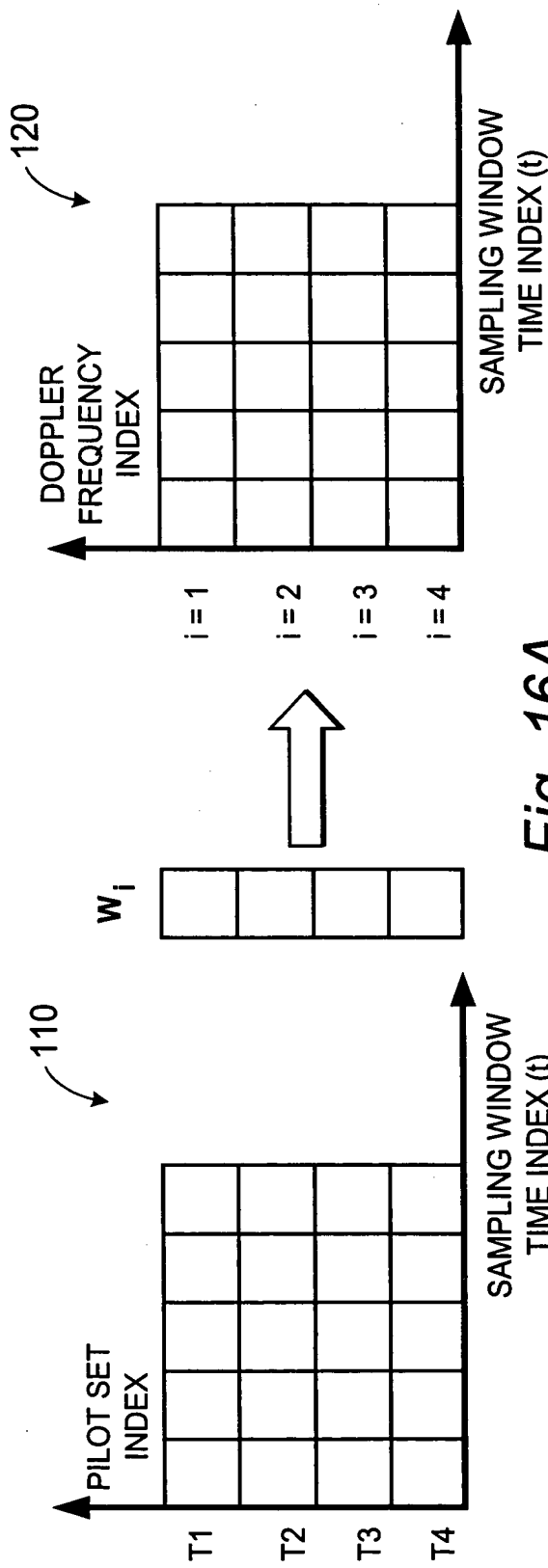


Fig. 16A

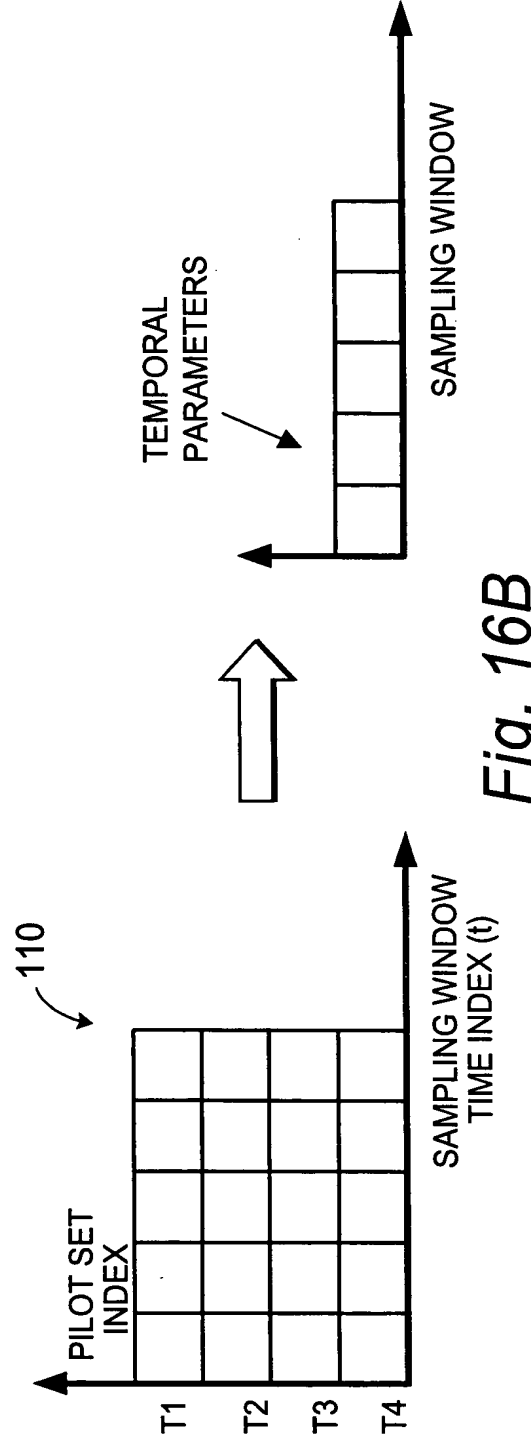
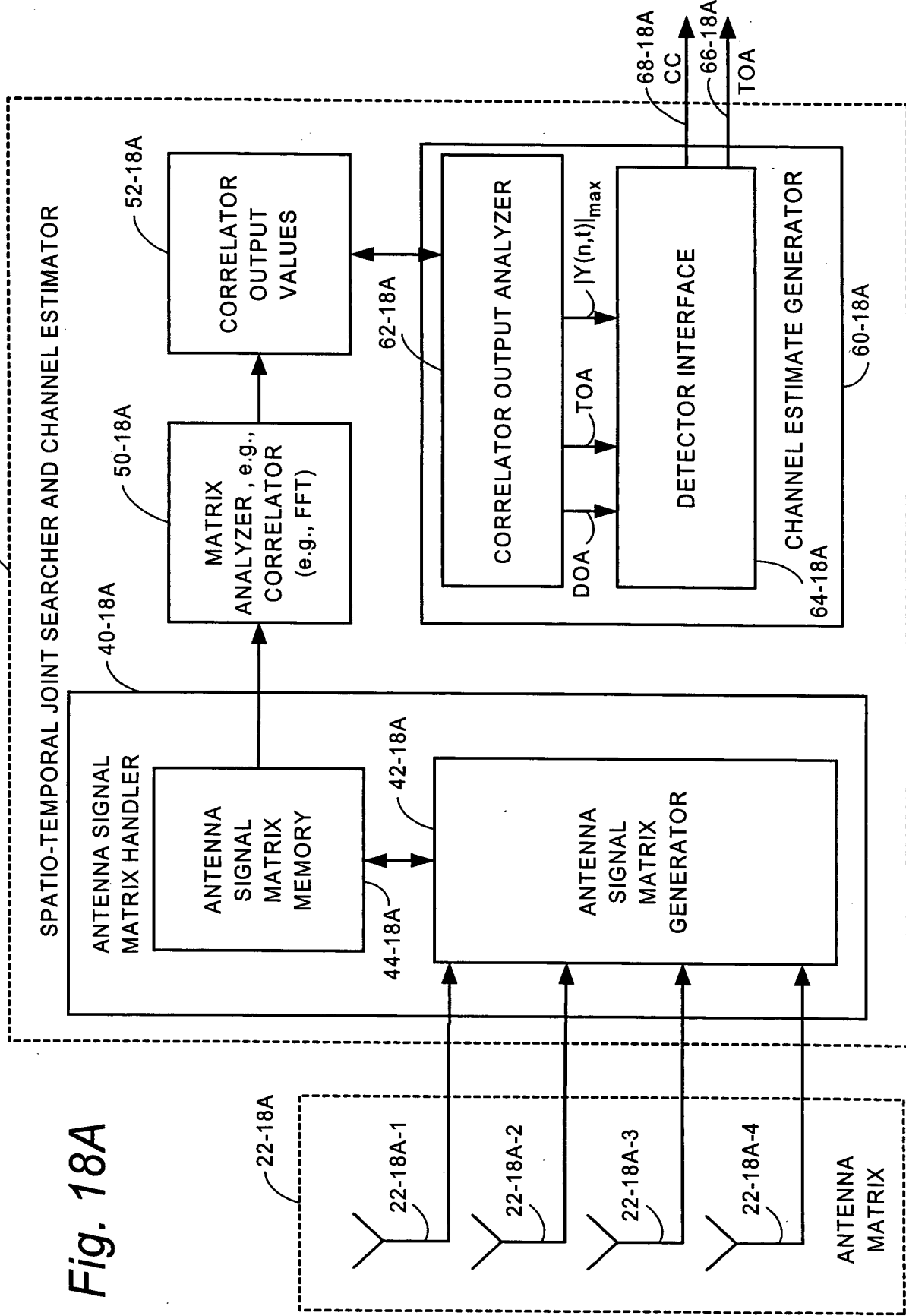
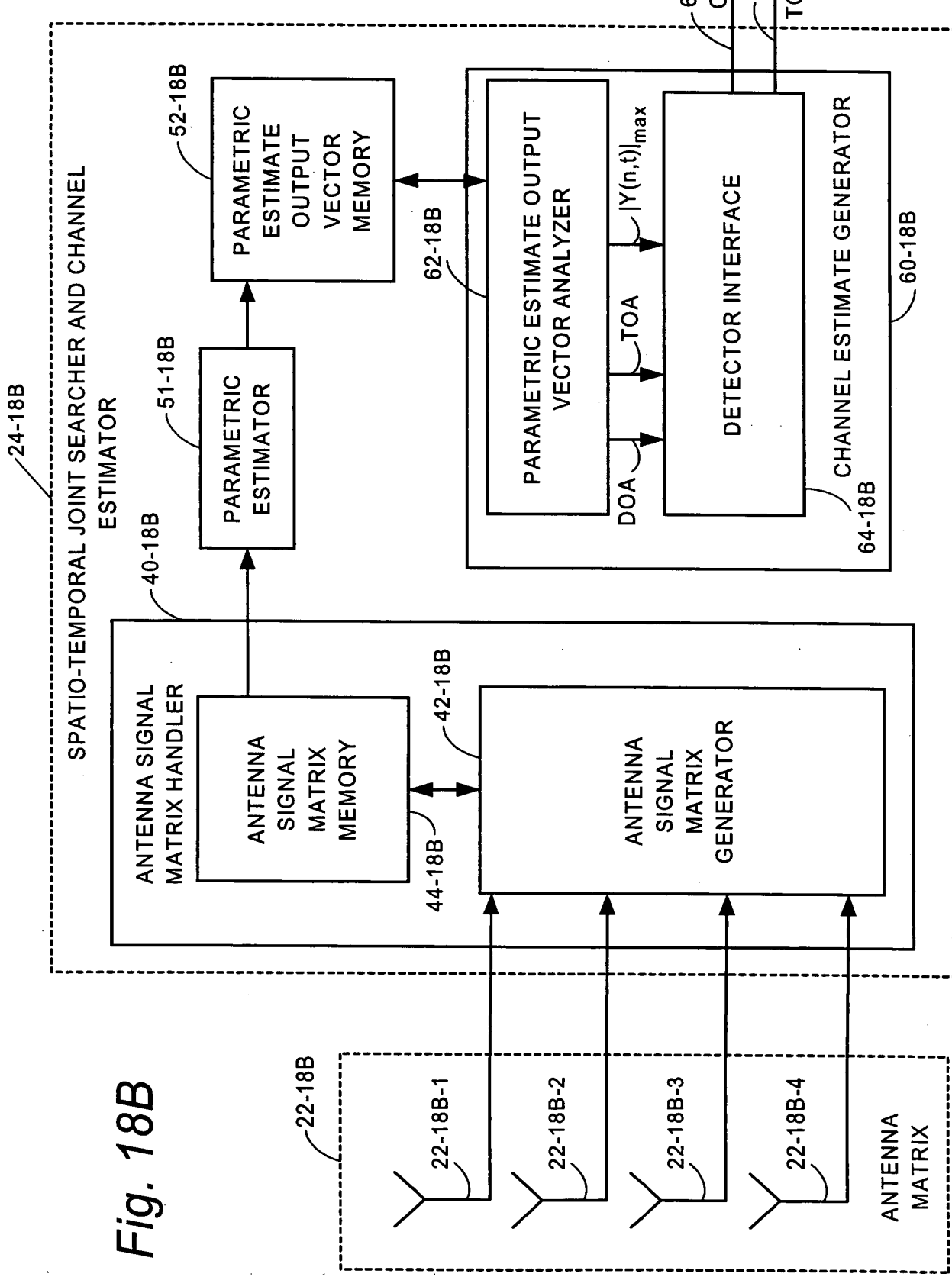


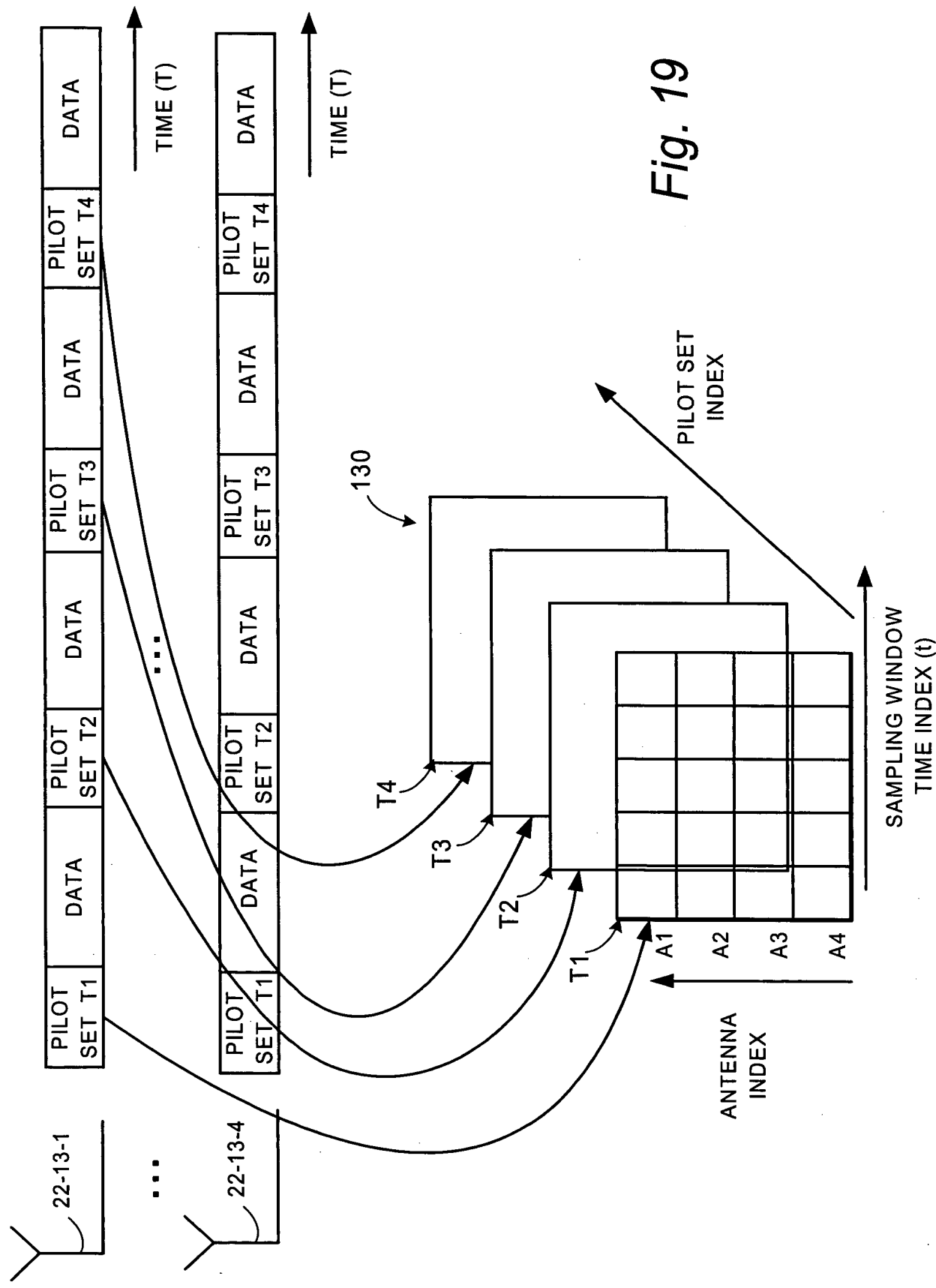
Fig. 16B

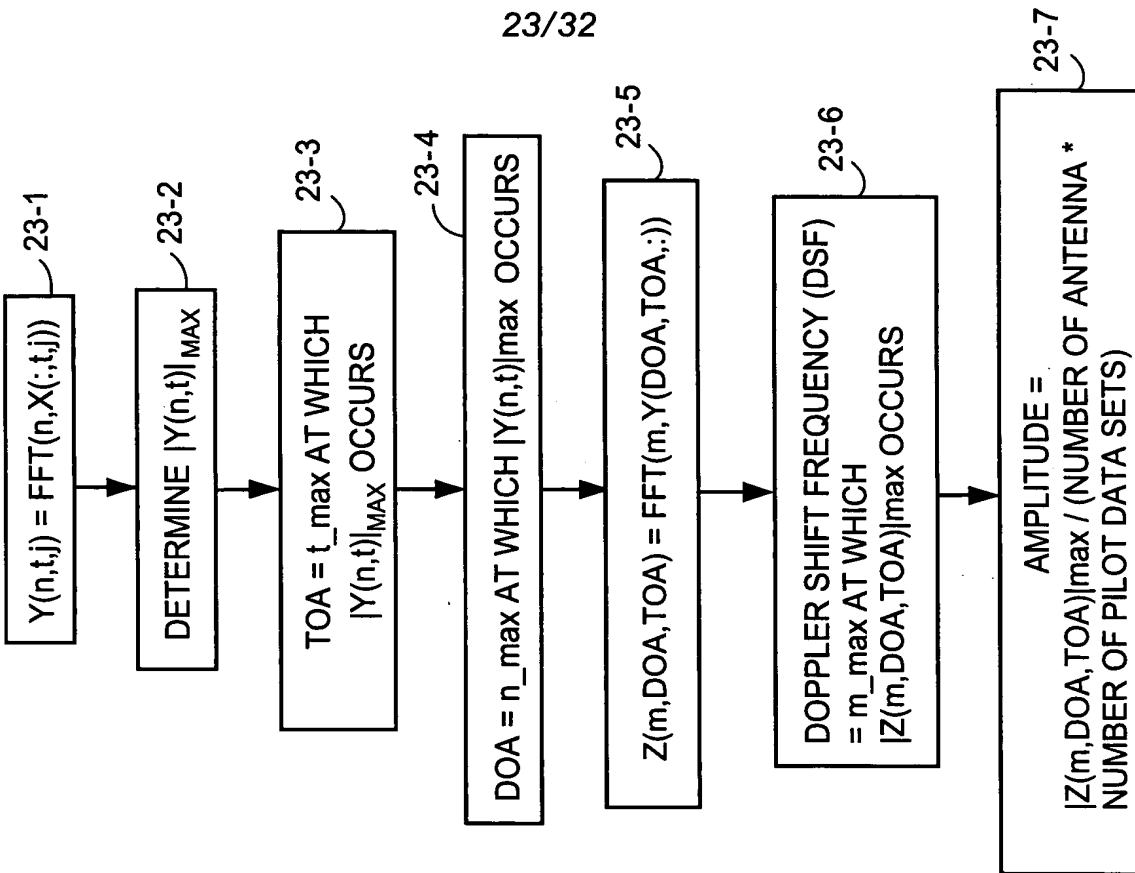
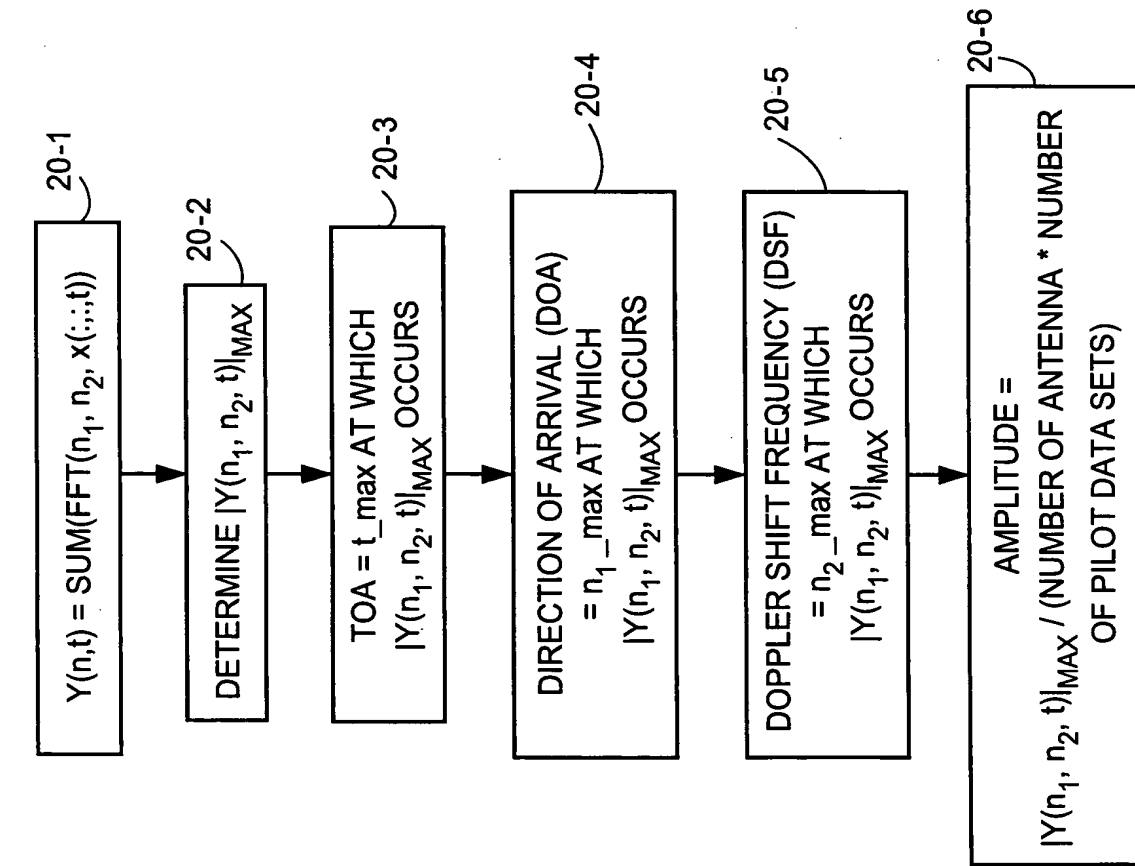
24-18A

SPATIO-TEMPORAL JOINT SEARCHER AND CHANNEL ESTIMATOR









*Fig. 20*

*Fig. 23*

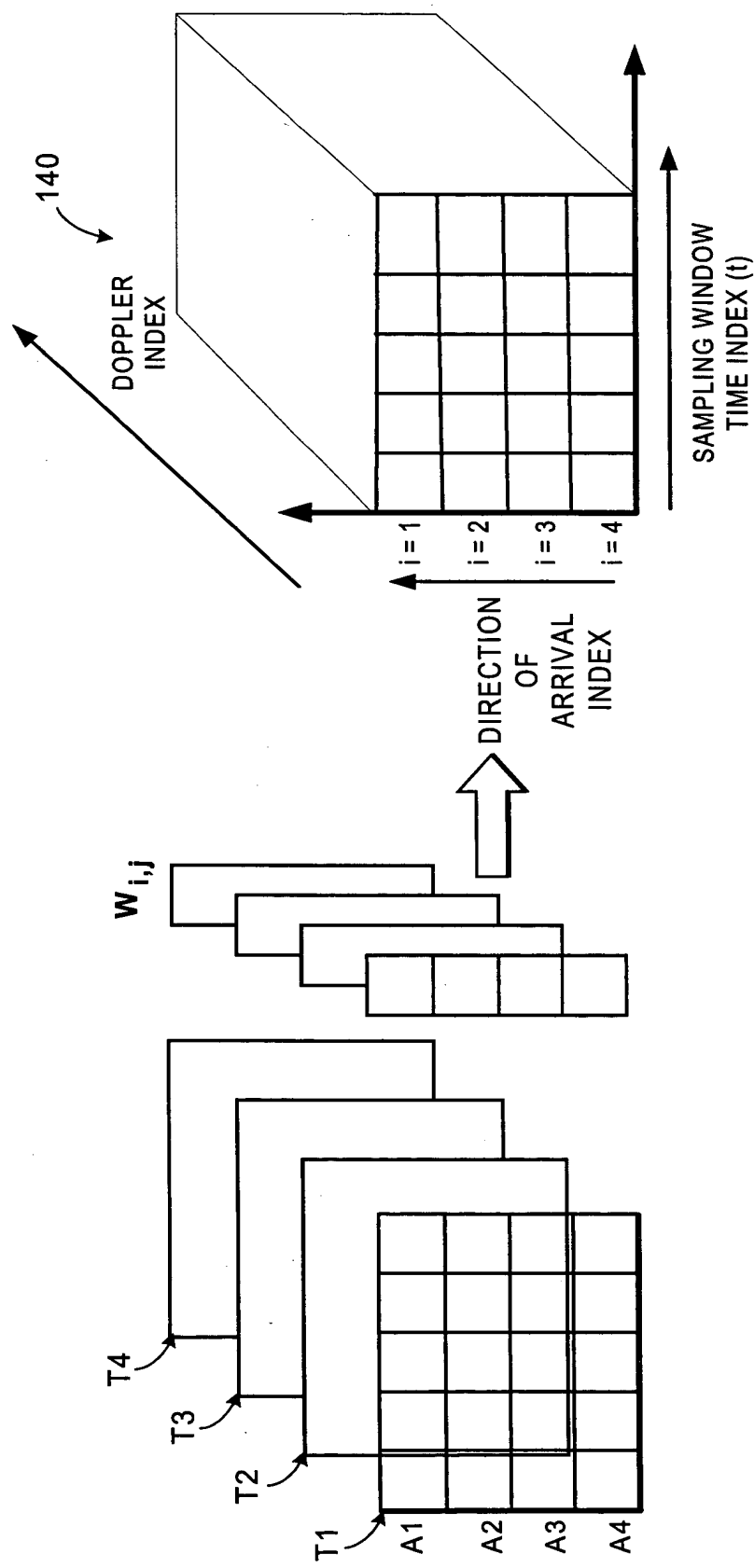


Fig. 21

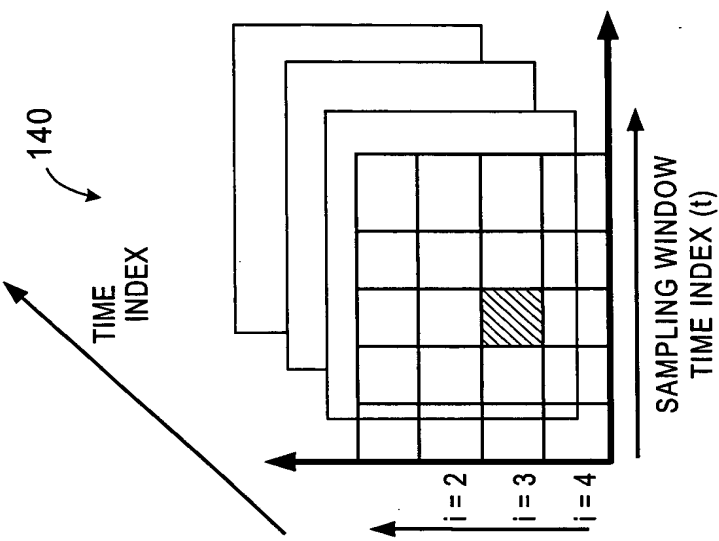


Fig. 22A

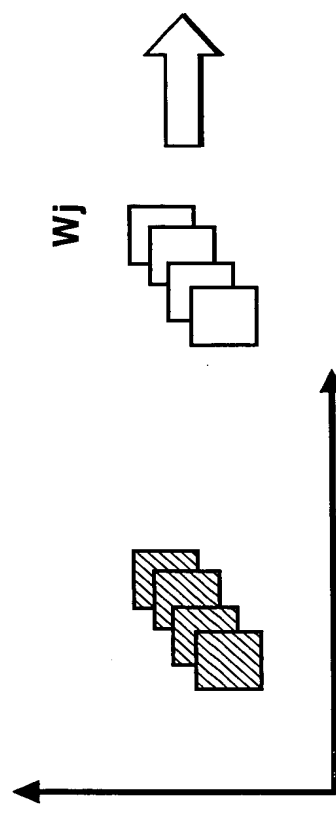
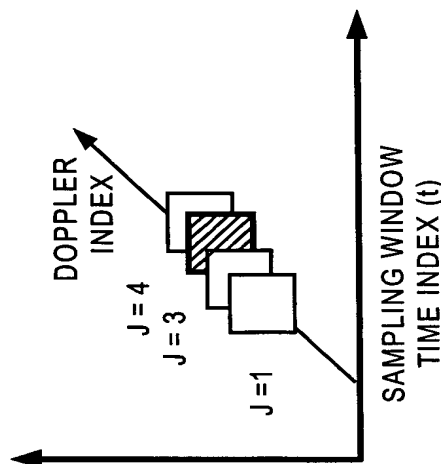
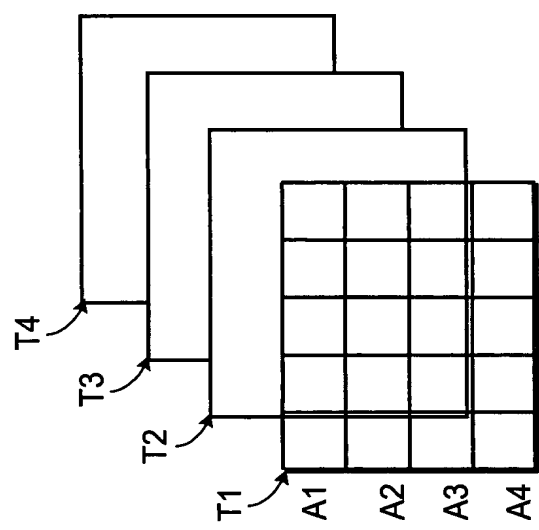


Fig. 22B

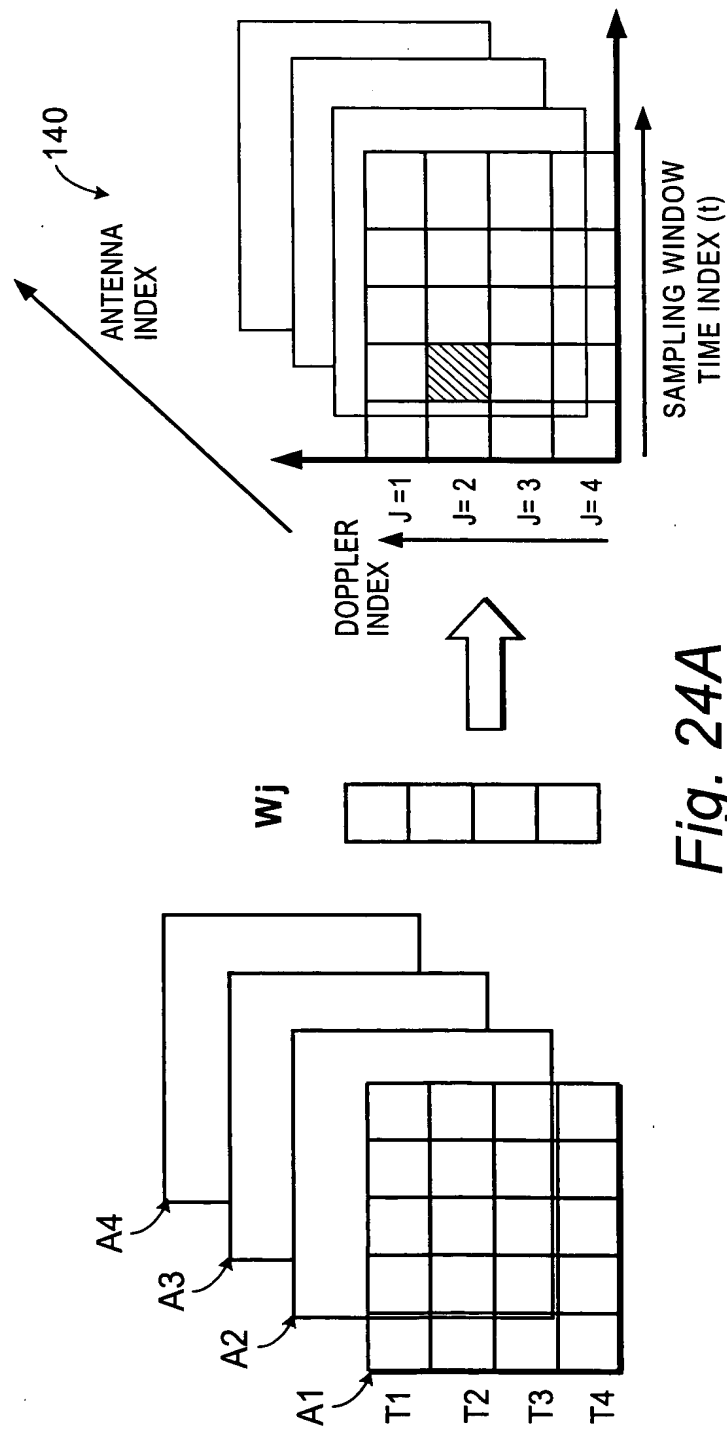


Fig. 24A

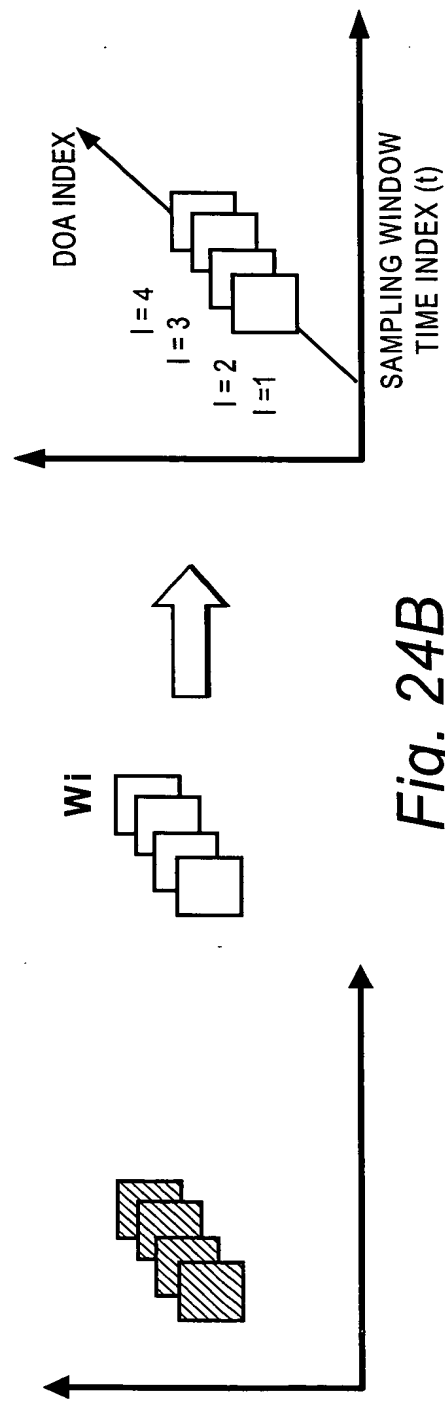
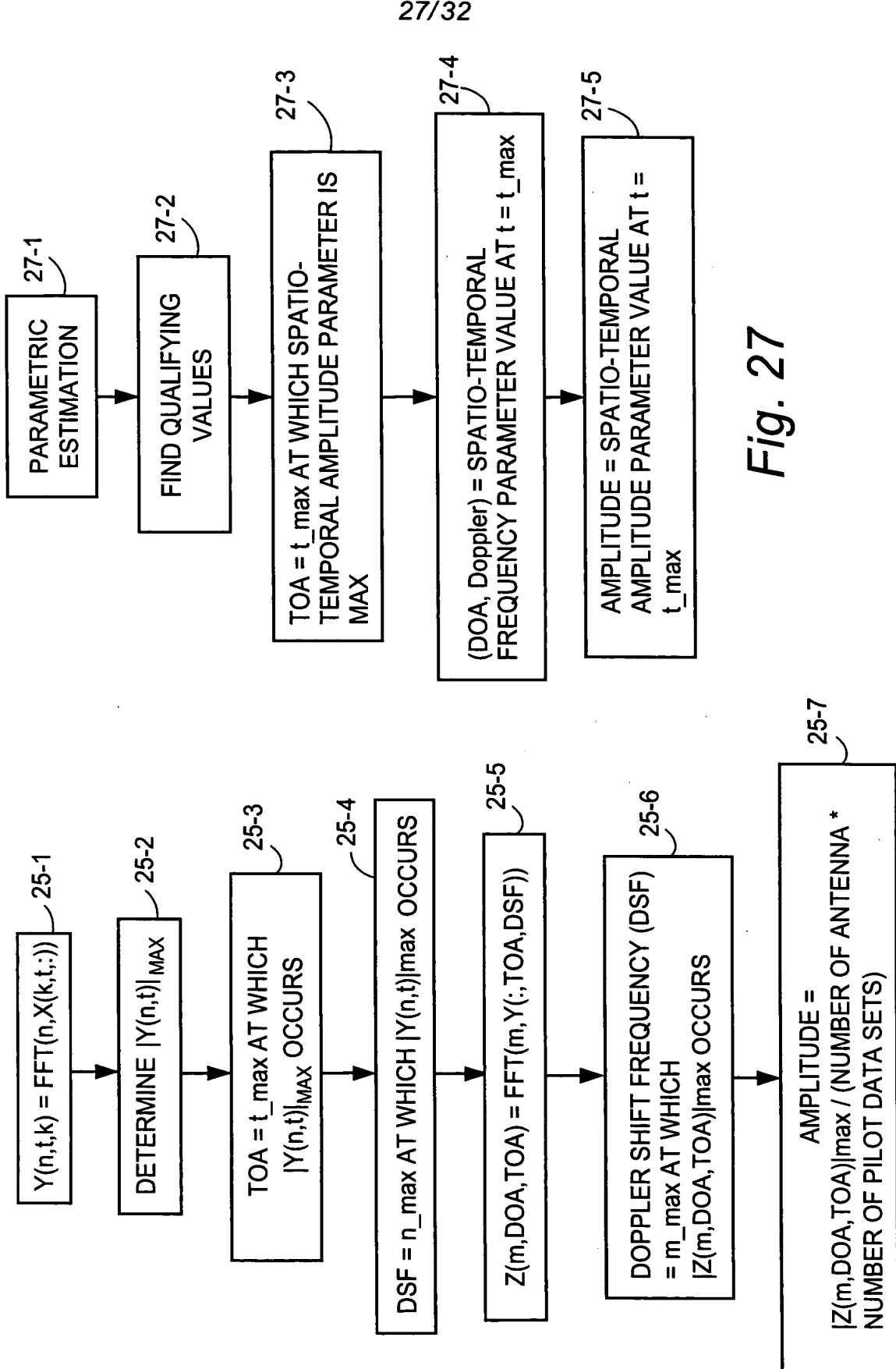


Fig. 24B



*Fig. 25*

*Fig. 27*

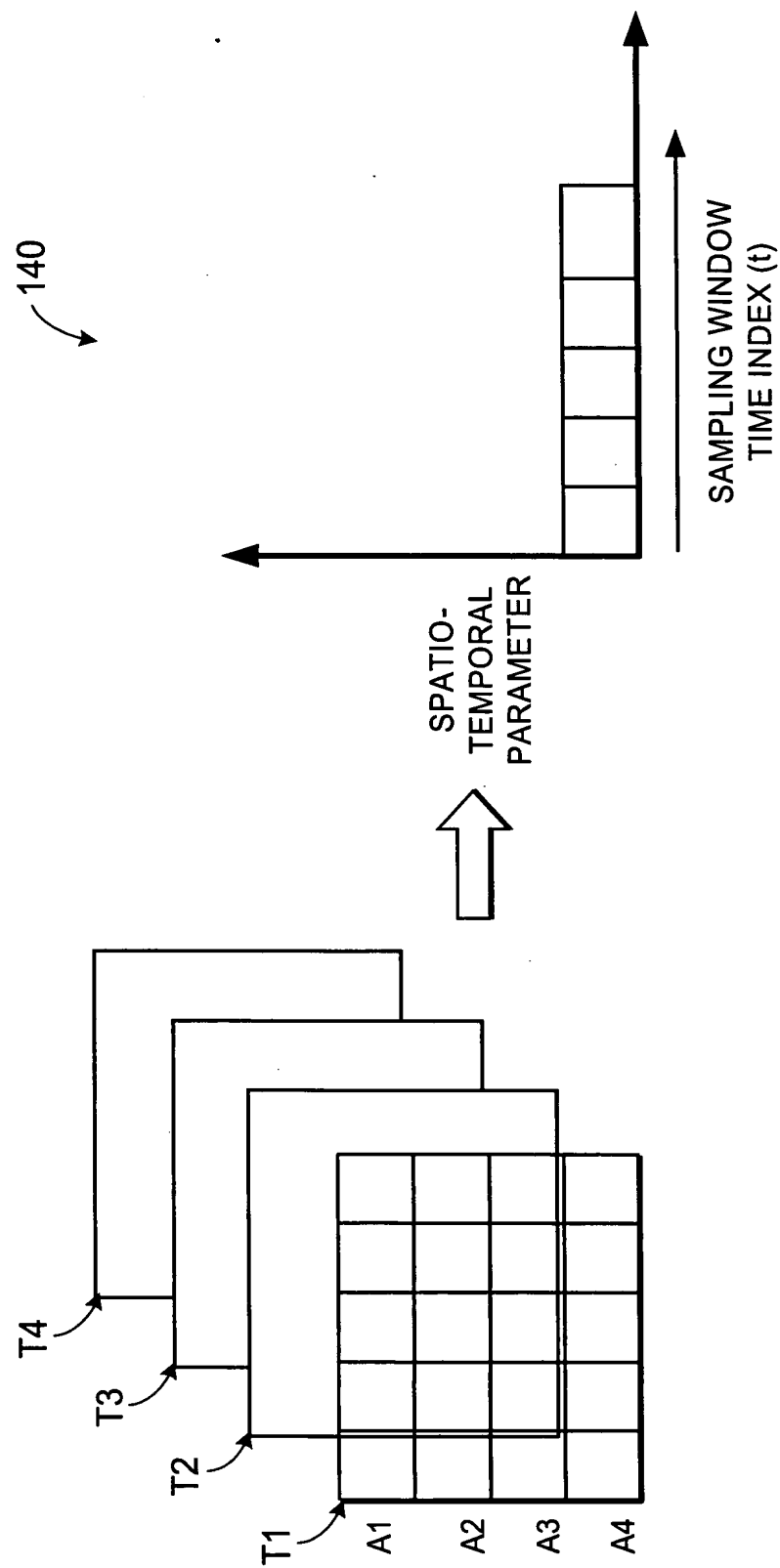


Fig. 26

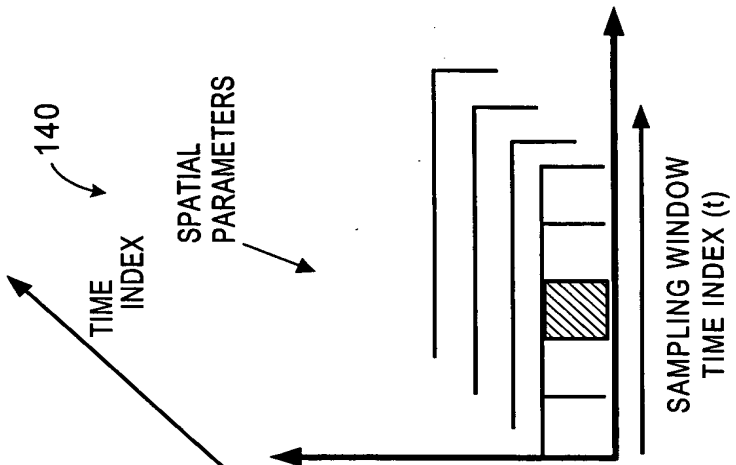


Fig. 28A

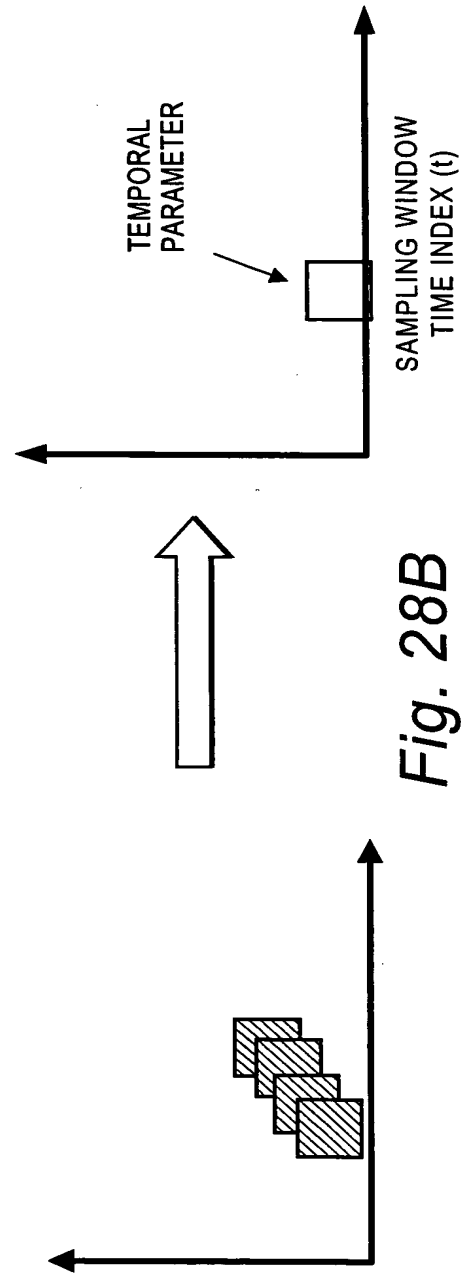
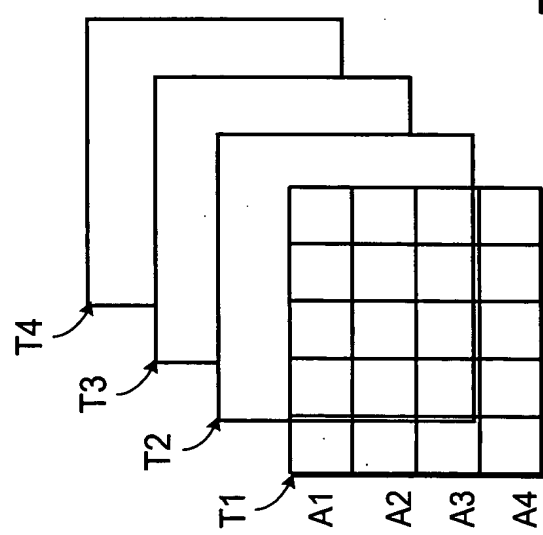


Fig. 28B

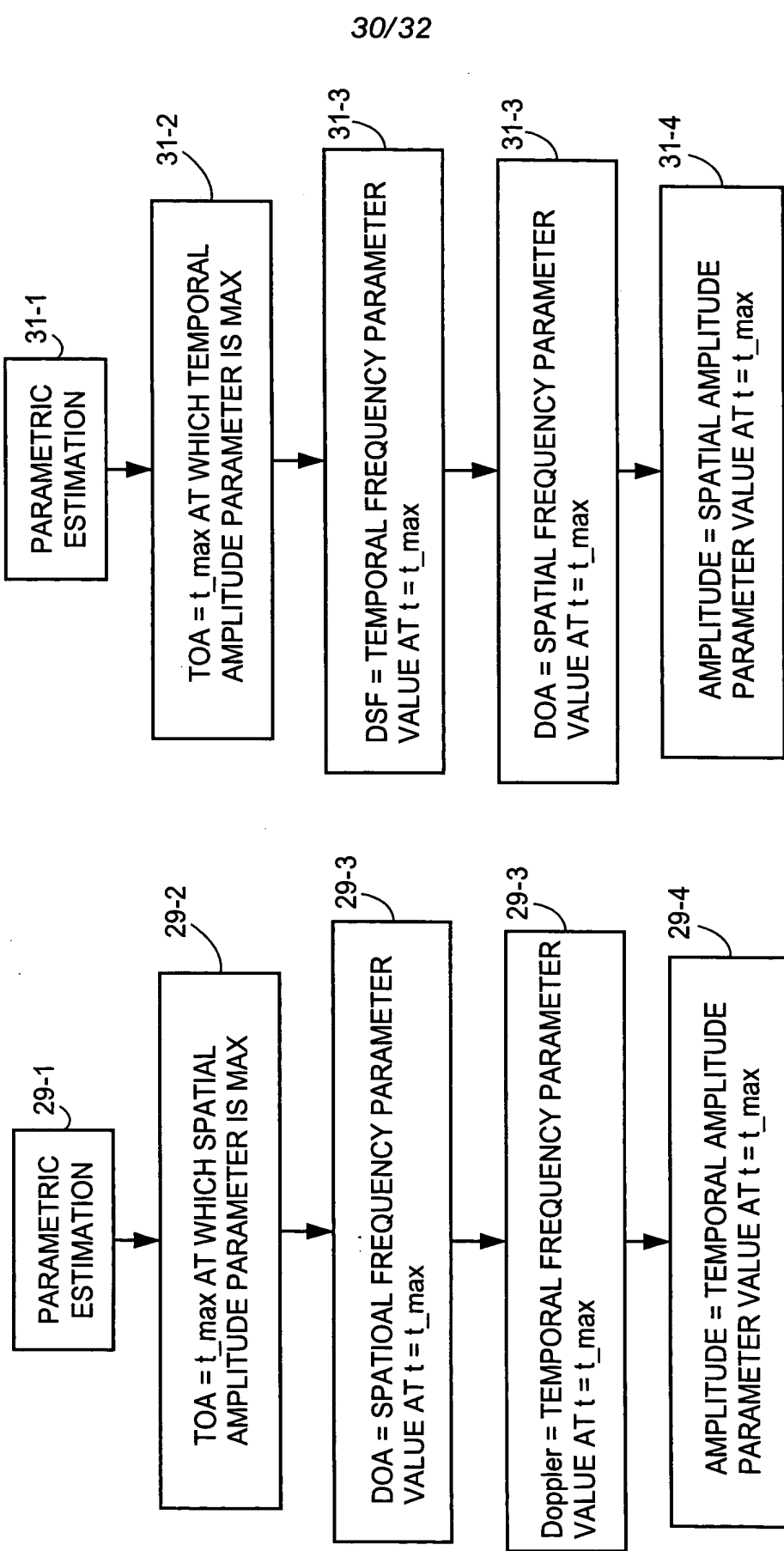


Fig. 29

Fig. 31

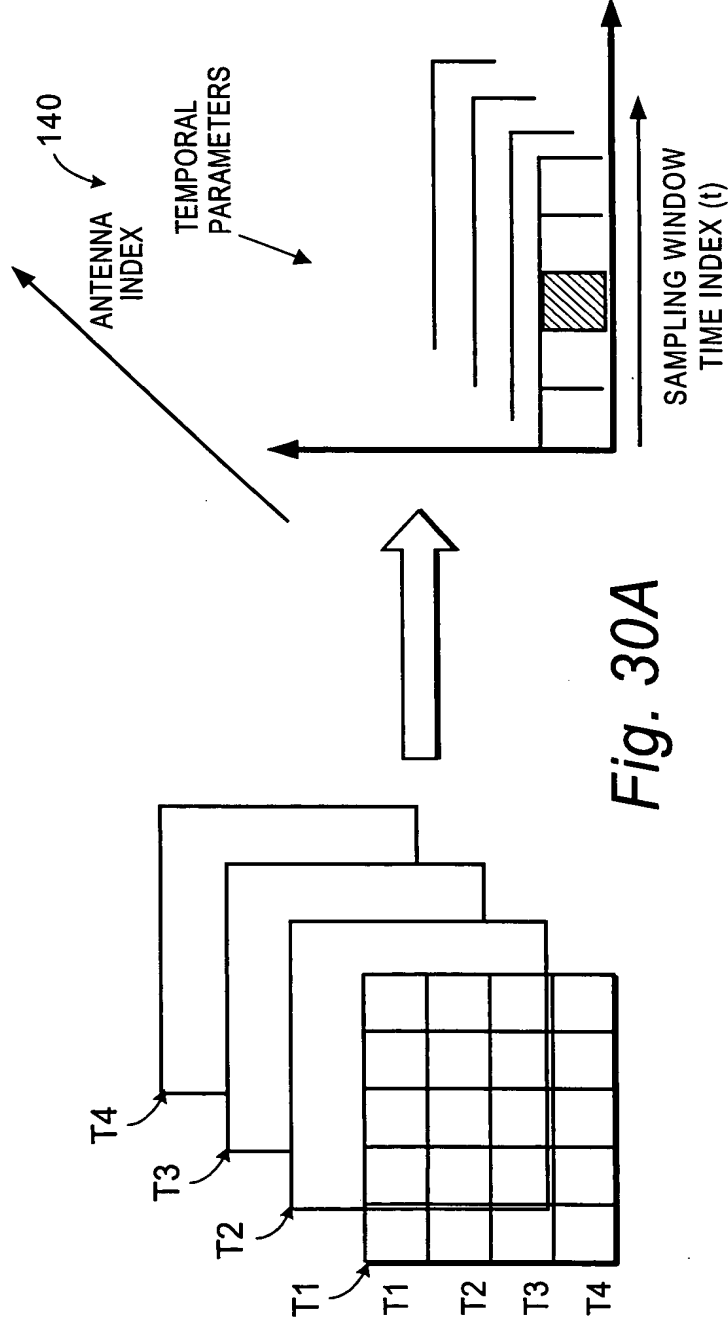


Fig. 30A

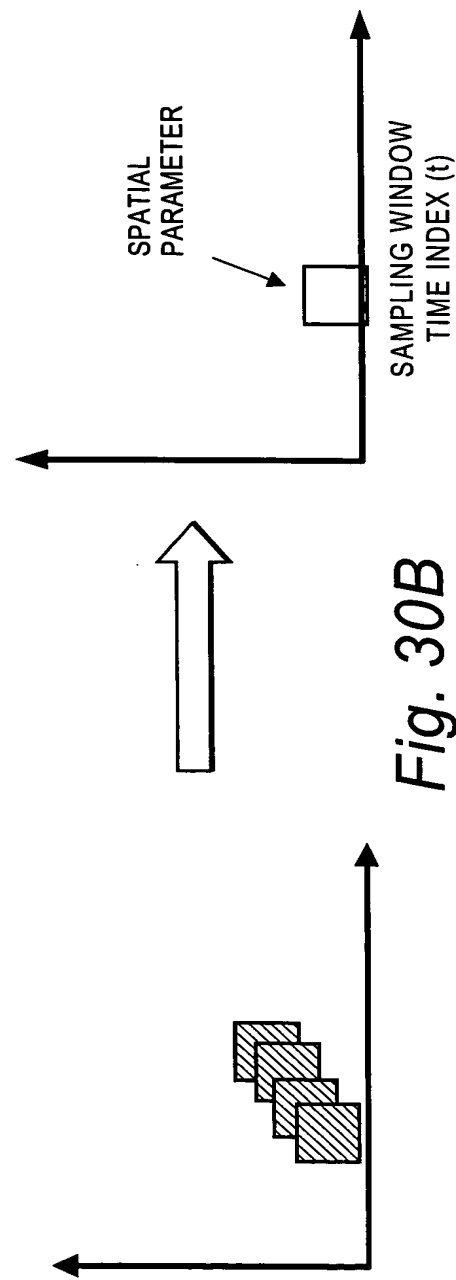


Fig. 30B

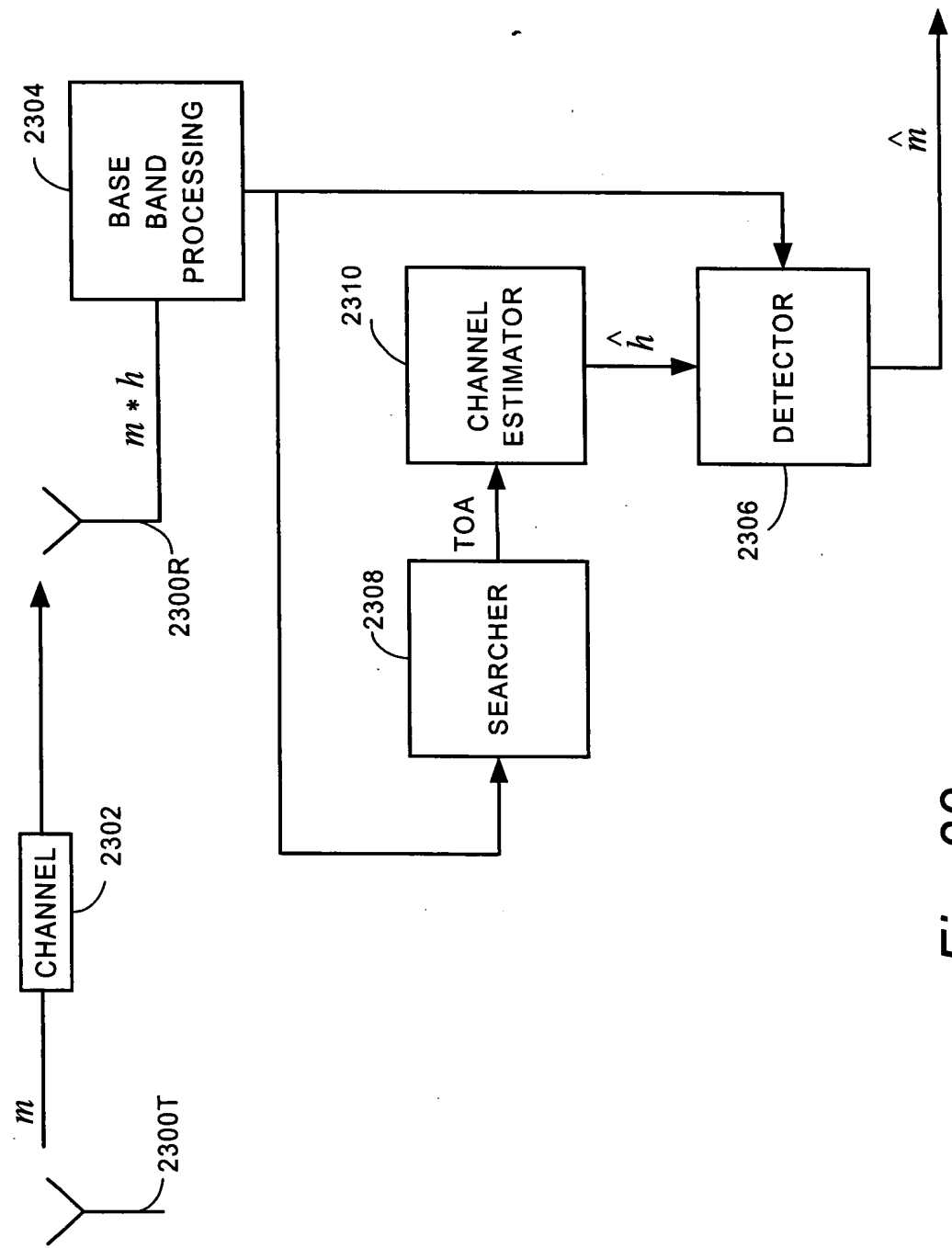


Fig. 32